Modele matematice în mecanică

Neculai Andrei
Research Institute for Informatics,
Center for Advanced Modeling and Optimization,
8-10, Averescu Avenue, Bucharest 1, Romania.
Academy of Romanian Scientists,
54, Splaiul Independentei, Bucharest 5, Romania.
E-mail: nandrei@ici.ro

1. Legile mecanicii

Primul savant modern prin care ştiinţa se defineşte în ea însăşi în opoziţie cu scolasticismul Evului Mediu este Galileo Galilei. El introduce o schimbare fundamentală de metodă în cercetarea ştiinţifică a Naturii, fiind în egală măsură un om de ştiinţă şi un teoretician al metodei ştiinţifice. Împreună cu Francis Bacon este întemeietorul ştiinţei experimentale. În lucrarea sa *Dialoghi* el spune: „*o singură experienţă este de ajuns pentru a infirma o mie de raţionamente şi o mie de raţionamente nu pot să facă falsă o singură experienţă*“. Cuvântul *experiment* provine din latinescul „*experimentum*” – o încercare, un test (*experiri* – a încerca, a testa) şi reprezintă o acţiune sau un proces considerate pentru a descoperi ceva care nu este cunoscut sau de a verifica (ilustra) ceva cunoscut. *Un experiment este o experienţă controlată,* în sensul că acest control permite repetarea experienţei exact în aceleaşi condiţii. Astfel, experienţa se poate transmite şi verifica, ceea ce este foarte important.

Galileo era convins că lumea are o structură matematică şi că pentru a ajunge la cunoaştere trebuie să utilizăm atât *simţurile cât şi raţiunea* în următoarea manieră:

1) Observarea atentă a faptelor dintr-un experiment.
2) Elaborarea ipotezelor matematice, ca o explicaţie a fenomenului observat, adică a legilor naturale formulate în expresii matematice.
3) Verificarea acestor ipoteze prin noi experimente.

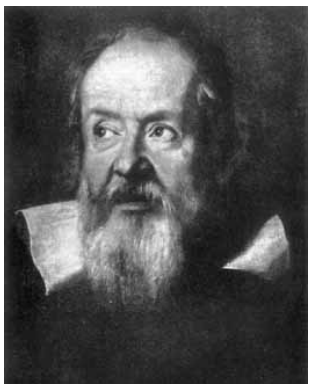
Galileo Galilei (1564-1642)

Galilei este cel care a înţeles în profunzime demersul lui Pitagora, precizând pentru prima dată în istoria gândirii omeneşti conceptul de lege naturală ca o *expresie matematică*, ca un *model matematic*.

Galilei şi-a dezvoltat teoriile sale în timpul unei mari mişcări intelectuale. Într-adevăr, Biserica Catolică era zguduită de marii reformatori protestanţi Martin Luther şi Jean Calvin care argumentau şi impuneau o interpretare mai literară a Sfintelor Scripturi.

Pe de altă parte, în domeniul ştiinţei se manifestă disputa dintre cele două concepţii: „geocentristă“ a lui Claudius Ptolemeu şi „heliocentristă“ a lui Nicolaus Copernic. În 1632, la Florenţa, Galilei publică lucrarea: „*Dialoghi quatro sopra i due massimi sistemi del mondo, Ptolemaico et Copernico*“ – „*Patru dialoguri*

asupra celor două mari sisteme ale lumii, ptolemeic şi copernican." Într-o manieră puţin lipsită de diplomaţie, aduce argumente solide concepţiei copernicane, ceea ce-i atrage anumite prejudicii din partea Bisericii Catolice[1]. El construieşte o lunetă cu care face numeroase observaţii astronomice care confirmă teoria heliocentrică a lui Copernic şi care a făcut posibilă răspândirea ideilor lui în toată Europa. În lucrarea sa „*Discorsi e dimonstrazioni matematichi intorno a due nove scienze*" - „*Discursuri şi demonstraţii matematice în jurul a două noi ştiinţe*", publicată în 1638, Galilei defineşte o nouă concepţie despre mişcare care va fi magistral continuată şi dezvoltată de Isaac Newton.

Unul dintre cele mai importante experimente ale lui Galilei a fost cel referitor la căderea corpurilor pe plane înclinate. Pentru a micşora frecarea, corpurile alese erau sfere. În urma acestor experimente Galilei a concluzionat că orice obiect în mişcare, dacă nu este obstrucţionat, va continua să se mişte cu o viteză constantă de-a lungul unei *linii orizontale.* Acesta este *principiul inerţiei* în versiunea lui Galilei. Deşi argumentele sale erau excepţionale, totuşi concluzia sa nu era întru-totul adevărată. Pentru el o suprafaţă orizontală era una care în orice punct al ei era perpendiculară pe direcţia către centrul Terrei. Ca atare, această suprafaţă de fapt era o sferă centrată în centrul Terrei. Galilei şi-a dat seama că Terra este foarte mare aşa încât local suprafaţa sa este plată, chiar dacă în realitate ea este o sferă. Deci obiectele de pe suprafaţa Terrei par a se deplasa în linii drepte. Spre deosebire de Aristotel care gândea că mişcarea caută starea de repaos, Galilei şi-a dat seama că starea naturală a mişcării este mişcarea cu o viteză constantă pe o linie dreaptă, inerţia fiind responsabilă de continuitatea mişcării. Mai târziu Newton va corecta observaţiile lui Galilei formulând, pentru prima dată, în mod corect, principiul inerţiei. În aceeaşi idee cu a lui Heraclit (*phanta rei*), Galilei era convins că cauza tuturor schimbărilor este mişcarea, care are legile ei intrinsece, independente de orice voinţă exterioară mişcării, legi care se pot cunoaşte doar din cercetarea temeinică a naturii.

Într-un cuvânt, Galilei este primul savant modern care a orientat gândirea către o *ştiinţă pur matematică şi experimentală*, pledând pentru aplicarea matematicii în cercetările experimentale, conjugând raţionamentul deductiv cu cel inductiv.

Unul dintre contemporanii lui Galilei cu o contribuţie deosebită la înţelegerea funcţionării sistemului nostru planetar şi la consolidarea teoriei copernicane a fost Johannes Kepler.

---

[1] Pe 31 octombrie 1992 Biserica Romano-Catolică a admis greşeala făcută cu 359 de ani în urmă în ceea ce priveşte persecuţia lui Galileo Galilei. Anunţul a fost făcut de Papa Ioan Paul al II-lea la o întrunire a Academiei Pontificale de Ştiinţe a Vaticanului. În discursul său Papa a argumentat că: *problemele de bază ale acestui caz se referă atât la natura ştiinţei cât şi la natura credinţei… într-o zi s-ar putea să ne aflăm într-o situaţie similară, ce va necesita ca ambele părţi să fie conştient informate asupra domeniului şi limitelor propriilor lor competenţe".*

Un împătimit al astronomiei şi pitagorician convins, de-a lungul vieţii sale a căutat armonia matematică a lumii. Kepler a beneficiat de datele astronomice înregistrate cu mare acurateţe de Tycho Brahe încercând descrierea structurii sistemului nostru planetar. După mai multe încercări, în care a propus diferite structuri ale sistemului planetar, în lucrările *Astronomia nova* şi *Harmonices mundi* el precizează cele trei legi de mişcare ale planetelor:

Johannes Kepler (1571-1630)

1. ***Legea I.*** *Planetele descriu elipse, Soarele ocupând unul dintre focare.*
2. ***Legea II.*** *Legea ariilor. Raza vectoare a planetei descrie (mătură) arii egale în timpuri egale.*
3. ***Legea III.*** *Raportul dintre pătratul timpului de revoluţie şi cubul semiaxei mari este acelaşi pentru toate planetele.*

Aceste legi au fost formulate de Kepler *în mod empiric*, în urma unor combinări şi analize numerice ale observaţiilor astronomice făcute de Tycho Brahe. Ulterior Kepler a încercat o sinteză a acestor legi într-una singură, dar nu a reuşit. Insuccesul lui Kepler se datorează faptului că el căuta forţa pe tangentă aşa după cum recomanda Aristotel. Aproape 100 de ani mai târziu, Newton urmând gândirea lui Galilei a căutat forţa de-a lungul razei vectoare reuşind să formuleze legea atracţiei universale şi din aceasta să deducă legile lui Kepler.

Dar cel mai mare om de ştiinţă al umanităţii, în tradiţia stabilită de Galilei, cu contribuţii esenţiale la fundamentul întregii ştiinţe moderne este Isaac Newton. La fel ca mulţi gânditori ai timpului şi el a avut un spectru larg de preocupări. Paralel cu Leibniz a creat un nou tip de calcul, calculul diferenţial şi integral, care a permis introducerea concepţiei localiste de modelare a fenomenelor naturale prin sisteme de ecuaţii diferenţiale. A demonstrat legea gravitaţiei universale şi a arătat că traiectoriile corpurilor cereşti sunt conice. Continuând opera lui Galilei, Newton a studiat mişcarea corpurilor în medii rezistente, creând aşa numita mecanică Newtoniană, enunţând în mod clar şi distinct cele trei legi ale mecanicii clasice.

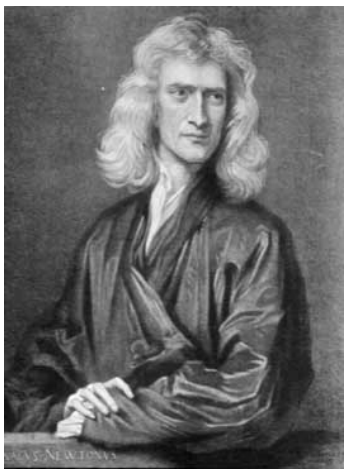

Sir Isaac Newton (1642-1727)

Lucrările sale principale au fost „*Philosophiae naturalis principia mathematica*“ şi „*Opticks*“. Descoperirea, împreună cu Leibniz, a calculului

diferenţial şi integral a constituit o sursă uriaşă de tehnici şi metode de rezolvare a unor probleme dificile de matematică şi ale ştiinţelor naturii. Rezultatele sale excepţionale sunt o consecinţă a puterii sale de analiză combinată cu o erudiţie şi abilitate înnăscută de „*citire a naturii*“, de a efectua experimente practice. Într-un anumit sens lucrările lui Newton pot fi considerate ca ultimele într-o serie de mari realizări care au marcat definitiv cultura noastră, serie care a început cu „*Elementele*“ lui Euclid şi a contituat cu „*Almagestul*“ lui Ptolemeu, „*De revolutionibus orbium coelestium*“ al lui Copernic şi „*La Géométrie*“ lui Descartes. Dar, în acelaşi timp, lucrările lui Newton pot fi considerate primele într-o serie de lucrări excepţionale ca „*Méchanique Analitique*“ a lui Lagrange, „*Treatise on Electricity and Magnetism*“ a lui Maxwell, „*Principia Mathematica*“ a lui Russell, „*The Foundations of Mathematics*“ a lui Hilbert sau „*Elements of Mathematics*“ a lui Bourbaki etc. care au remodelat cultura noastră, modul nostru de gândire, şi care au adus în prim plan problema matematizării ştiinţei în sensul formalizării naturii, adică a exprimării sale în simboluri matematice.

Opera sa fundamentală „*Philosophiae Naturalis Principia Mathematica*“ – „*Principiile matematice ale filosofiei naturale*“, publicată la Londra în 1687, este considerată una dintre cele mai influente cărţi care a dominat gândirea ştiinţifică a ultimilor secole, furnizând instrumentele intelectuale fundamentale pentru realizarea revoluţiei industriale. *Principia* a stabilit o nouă paradigmă a mişcării mecanice, prezentând pentru prima dată acel *salt intelectual* remarcabil de la observaţii la relaţii matematice riguroase. Aici Newton prezintă cele trei legi ale mişcării mecanice, cunoscute şi ca *principiile mecanicii clasice*:

1. ***Principiul inerţiei.*** „*Un corp îşi păstrează starea de repaos sau de mişcare rectilinie şi uniformă, atât timp cât nu intervine vreo forţă care să-i modifice această stare.*“
   [*Corpus omne perseverare in statu suo quiescendi vel movendi uniformiter in directum, nisi quatenus illud a viribus impressis cogitur statuum suum mutare.*]
2. ***Principiul independenţei acţiunii forţelor.*** „*Acceleraţia unui corp este proporţională cu forţa motoare aplicată şi este îndreptată în direcţia după care acţionează forţa.*“
   [*Mutationem motus proportionalem esse vi motrici impressae et fieri secundum lineam rectam qua vis illa imprimitur.*]
3. ***Principiul acţiunii şi reacţiunii.*** „*La orice acţiune corespunde totdeauna o reacţiune egală şi contrară: sau acţiunile reciproce a două puncte materiale sunt totdeauna egale şi îndreptate în sens contrar.*“ [*Actioni contrariam semper et aequalem esse reactionem: sive corporum duorum actiones in se mutuo semper esse aequales et in partes contraris dirigi.*]

Primele două principii au fost enunţate de Galilei. Newton le-a sistematizat, le-a exprimat în relaţii matematice, şi le-a încadrat într-un sistem complet, minimal şi necontradictoriu, ca adevărate axiome ale mecanicii.

Principiul al II-lea al mecanicii Newtoniene exprimă *ecuaţia fundamentală a dinamicii*,

$$F = ma\,,$$

care leagă forța F de masa m şi accelerația a imprimată corpului. Aristotel intuise o asemenea legătură dintre forță şi masă, dar prin intermediul vitezei. Totodată, principiul al II-lea conține şi ***principiul paralelogramului forțelor***: „*când asupra unui punct material acționează simultan două forțe având direcții diferite, efectul este acelaşi ca şi când asupra punctului ar acționa o forță unică denumită rezultantă şi care are ca mărime direcție şi sens diagonala paralelogramului având drept laturi forțele considerate*.“ Cu aceasta, într-o formă sintetică, principiul al II-lea se poate formula ca: „*efectul unei forțe asupra unui corp este independent de viteza lui, precum şi de acțiunile altor forțe.“*

Tot în *Principia* Newton prezintă cele patru „*reguli pentru a filosofa*“ – *regulae philosophandi*, cunoscute ca şi „*regulile cercetării ştiințifice“:*

1. ***Regula I.*** „ *Singurele cauze care pot fi admise în explicarea fenomenelor sunt cauzele care există real şi actual.“* [*Causas rerum naturalium non plures admitti debere, quam quć et verć sint et earum phćnomenis explicandis sufficiant.*]
2. ***Regula II.*** „*Efectele de acelaşi gen trebuie să fie atribuite, pe cât posibil, aceleiaşi cauze.*“ [*Ideoque effectum naturalium ejusdem generis ećdem assignandć sunt causć, quatenus fieri potest.*]
3. ***Regula III.*** „*Calitățile corpurilor care nu sunt susceptibile nici să se mărească, nici să scadă în intesitate, ca şi cele care aparțin tuturor corpurilor asupra cărora se poate face experiența trebuie considerate ca aparținând tuturor corpurilor, în general.*“ [*Qualitates corporum quć intendi et remitti nequeunt, qućque corporibus omnibus competunt in quibus experimenta instituere licet, pro qualitatibus corporum universorum habendć sunt.*]
4. ***Regula IV.*** „*În filosofia experimentală, propozițiile scoase prin inducție din fenomene trebuie privite, cu toate ipotezele contrare, ca fiind aproape adevărate, până când alte fenomene le vor confirma în întregime sau vor face să se vadă că ele sunt supuse unor excepții.*“ [*In philosophia experimentali, propositiones ex phćnomenis per inductionem collectć, non obstantibus contrariis hypothesibus, pro veris aut accurate aut quamproxime haberi debent, donec alia occurrerint phćnomena, per quć aut accuratiores reddantur aut exceptionibus obnoxić.*]

Metoda experimentală a lui Newton se bazează pe două principii. Primul este cel al lui Occam: *entia non sunt multiplicanda praeter necessitatem* – nu trebuie să multiplicăm cantitățile explicative mai mult decât este necesar. Al doilea arată că *Natura are o economie a ei*, adică ea nu se risipeşte în fenomene, şi ca atare şi gândirea trebuie să respecte aceeaşi economie, fără a se complica în tot felul de explicații metafizice, pe baza unor ipoteze care nu răsar din experiență.

Newton s-a ilustrat ca un adevărat om de ştiinţă dovedind, pentru prima dată, posibilitatea saltului intelectual de la observaţii şi intuiţii la exprimarea în termeni matematici a fenomenelor naturale. El a precizat o astfel de metodă, o astfel de cale, de sinteză în *modele matematice* a mişcării mecanice. Newton a fost un mare sistematizator care a dat tonul în ceea ce priveşte matematizarea naturii fizice (cosmice, macroscopice, dar nu şi microscopice) prin crearea instrumentelor necesare realizării acestui demers (calculul diferenţial), precum şi aplicarea acestui instrument în mişcarea mecanică.

2. Ecuaţiile Lagrange

Problema fundamentală a mecanicii constă în stabilirea unor relaţii între forţele care acţionează asupra unui sistem de corpuri materiale şi mişcarea mecanică realizată de aceste corpuri. Sau altfel spus, *studiul mişcării şi echilibrului corpurilor materiale, precum şi studiul forţelor care solicită aceste corpuri*. Aceasta a fost rezolvată de Newton. Opera lui a fost continuată cu un deosebit succes de urmaşii săi, Euler, Daniel Bernoulli, Laplace, Maupertuis, d'Alembert, Lagrange, Hamilton, Poisson, Jacobi etc.

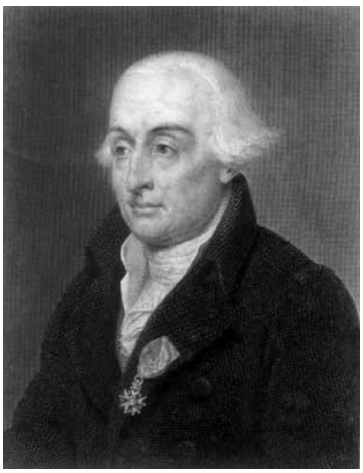

Joseph Lagrange (1736-1813)

Dar cel care a dat o formă magistrală metodei analitice ilustrând puterea calculului diferenţial în rezolvarea problemei fundamentale a mecanicii a fost Joseph Louis Lagrange. „*Méchanique Analitique*" a lui Lagrange, care a apărut exact la 100 de ani după „*Principia*" lui Newton, reprezintă una dintre culmile de reprezentare în termeni matematici, foarte generali, a fenomenelor mecanice. Atât de puternic s-a dovedit calculul diferenţial, încât spre deosebire de Principia lui Newton care abundă în figuri şi raţionamente geometrice, Mecanica lui Lagrange nu are nici o figură geometrică (o*n ne trouvera point de figures dans cet ouvrage*), fiind în întregime analitică în sensul cel mai adevărat al cuvântului.

El introduce *principiul deplasărilor virtuale* pe care-l aplică în formularea ecuaţiilor de mişcare a sistemelor mecanice, ca un sistem de ecuaţii diferenţiale de ordinul doi.

Cel care continuă opera lui Lagrange este Sir William Rowan Hamilton care stabileşte sistemul de ecuaţii canonice, cunoscute ca *ecuaţiile Hamilton-Jacobi* şi care încearcă să deducă legile fundamentale ale mecanicii dintr-un principiu unic variaţional cunoscut ca *principiul lui Hamilton*.
Caracteristic pentru principiul lui Hamilton nu este numai echivalenţa sa cu legile mecanicii ale lui Newton, ci faptul că acesta are avantajul deosebit de a fi aplicabil deasemenea sistemelor nemecanice. Aceasta a condus la crearea unei mecanici foarte generale care explică atât sistemele mecanice cât şi cele nemecanice (electrice, fluidice etc.) cunoscută ca *mecanica generalizată*.

Sir William Hamilton (1805-1865)

De-a lungul timpului, în procesul rezolvării problemei fundamentale a mecanicii, cele trei legi ale lui Newton au fost analizate şi interpretate. Pe această cale s-a ajuns la stabilirea aşa numitelor *principii analitice ale mecanicii*, care în esenţă se bazează pe legile lui Newton. Acestea reprezintă o expresie matematică avansată a legilor mecanicii, ce fundamentează aşa numita *mecanică analitică*.

Principiile analitice, care stau la baza mecanicii analitice, se împart în două categorii: *principiile diferenţiale* şi *principiile integrale* sau *variaţionale*.

Principiile diferenţiale analizează fenomenul mecanic la un moment dat, considerând variaţii de timp şi spaţiu elementare în jurul unui punct. Principalele principii diferenţiale sunt: *principiul lucrului mecanic virtual*, *principiul lui d'Alembert* şi *principiul lui Gauss sau al celei mai mici constrângeri*.

Principiile integrale analizează fenomenul mecanic într-un interval finit de spaţiu şi timp, reducând problema fundamentală a mecanicii la determinarea unor valori care fac staţionare anumite integrale. Din această categorie fac parte: *principiul lui Hamilton* şi *principiul celei mai mici acţiuni al lui Maupertuis*.

Principiul lucrului mecanic virtual (sau al *deplasărilor virtuale*, sau încă al *vitezelor virtuale*) poate fi considerat ca legea fundamentală a mecanicii analitice. Deplasările virtuale sunt deplasări infinit mici, instantanee, arbitrare, compatibile cu legăturile şi care se produc în punctele unde se aplică forţele care acţionează asupra sistemului. Lucrul mecanic virtual este produs de forţele care acţionează sistemul atunci când acestea au deplasări virtuale. *Principiul lucrului mecanic virtual* exprimă faptul că *pentru sisteme fără frecări şi care sunt în echilibru, lucrul mecanic virtual al forţelor care acţionează sistemul este nul.* Parţial, acest principiu a fost articulat şi de Guido Ubaldi, Torricelli şi Jean Bernoulli, dar forma definitivă i-a dat-o Lagrange în 1788.

Jean d'Alambert (1717-1783)

Principiul lui d'Alembert, formulat de acesta în lucrarea sa „*Traité de dynamique*", publicată în 1743, exprimă faptul că *dacă într-un sistem în mişcare se introduc pe lângă forţele date şi a celor de legătură şi forţele de inerţie, atunci sistemul poate fi tratat ca orice sistem static în echilibru.* Lagrange a arătat că acest principiu este o altă exprimare a principiului deplasărilor virtuale.

Johann Gauss (1777-1855)

Principiul lui Gauss sau al *constrângerii minime* se bazează pe ideea că *dacă un punct material* M*, de masă* m *ar parcurge, liber de legături, traiectoria* MA*, iar datorită unor legături oarecare traiectoria* MB*, atunci cantitatea* $m.AB^2$ *ar trebui să aibă o valoare minimă.* Şi pentru acest principiu se arată echivalenţa sa cu principiul deplasărilor virtuale.

Pierre Maupertuis (1698-1759)

Principiul lui Maupertuis sau *al minimei acţiuni*, formulat în 1745, se exprimă sub forma: *ori de câte ori în natură se produce mişcarea unui sistem material, atunci sistemul trebuie să lucreze astfel încât integrala produsului dintre masă, viteză şi spaţiu – integrală considerată pe intervalul de spaţiu şi de timp dintre două poziţii succesive date – să fie minimă.* Cum cantitatea mvs se numeşte *acţiune*, de aici derivă numele principiului. Această formulare a principiului minimei acţiuni al lui Maupertuis o regăsim în principiul lui Hamilton pe care-l vom detalia imediat.

Legile mecanicii, aşa cum au fost formulate de Newton, sunt exprimate în termenii conceptelor vectoriale de forţă, moment şi acceleraţie. Formulările ulterioare, în special cele ale lui d'Alembert, Lagrange şi Hamilton, sunt bazate pe conceptele scalare de energie şi lucru, care dau o anumită frumuseţe şi eleganţă mecanicii. Deşi, multe aplicaţii ale mecanicii se bazează pe considerarea directă a legilor lui Newton, totuşi experienţa a arătat că metodele generalizate, bazate pe

conceptele de energie şi principiile variaţionale, sunt mult mai generale şi mai puternice [Plăcinţeanu, 1958], [Vâlcovici, Bălan, Voinea, 1968].

Deşi ecuaţiile de mişcare se pot introduce în manieră Lagrangeană, totuşi pentru simplificarea prezentării vom deduce aceste ecuaţii plecând de la principiul lui Hamilton. Considerăm un sistem cu n grade de libertate, caracterizat de un set de n coordonate generalizate $q = [q_1, \cdots, q_n]$, unde $q_i = q_i(t)$ fiind funcţii continue, cel puţin de două ori continuu diferenţiabile. Fie $q(t_0)$ şi $q(t_1)$ două puncte din spaţiul configuraţiilor de la două momente de timp diferite t_0 şi t_1. Atunci, *principiul lui Hamilton* afirmă că: *mişcarea sistemului între aceste două configuraţii se face astfel încât:*

$$\int_{t_0}^{t_1} (\delta T + \delta W)\mathrm{d}t = 0,$$

unde T este energia cinetică, W lucrul mecanic efectuat de sistem, iar δ reprezintă variaţia cantităţilor corespunzătoare.

Această expresie a principiului lui Hamilton este valabilă atât pentru sisteme conservative cât şi pentru cele neconservative. Cantitatea δW se numeşte *lucru virtual* şi se defineşte ca lucrul făcut de sistem în timpul *deplasărilor virtuale*. În coordonate generalizate

$$\delta W = \sum_{i=1}^{n} Q_i \delta q_i = Q.\delta q,$$

unde Q_i sunt cunoscute ca *forţele generalizate*, care formează vectorul

$$Q = \left[Q_1, \ldots, Q_n\right].$$

Notăm că lucrul făcut de forţele generalizate, care acţionează asupra unui sistem dinamic, în general, depinde de drumul sau de traiectoria de-a lungul căreia are loc mişcarea. Totuşi, sunt anumite clase de forţe pentru care lucrul depinde numai de punctul iniţial şi de cel final al traiectoriei şi nu de toată traiectoria. Astfel de forţe se numesc *conservative*, şi de aici sistemele asupra cărora acţionează numai forţe conservative sunt numite *sisteme conservative*. Ca exemple de forţe conservative menţionăm forţele gravitaţionale, electrostatice, elastice etc. Forţele neconservative sunt acelea care depind de viteză, timp sau de alţi parametri, diferiţi de poziţie.

Matematic, condiţia pentru ca o forţă să fie conservativă este ca $Q.\delta q$ să fie o diferenţială exactă, adică Q să fie obţinut ca gradientul unei funcţii scalare, $Q = -\nabla V$. Funcţia $V = V(q)$ se numeşte *potenţial*, un termen introdus de Lagrange. Semnul minus este convenţional, direcţia pozitivă a forţei este întotdeauna în direcţia descreşterii energiei potenţiale.

Deci lucrul W făcut de forţele conservative este:

$$W = \int Q\mathrm{d}q = -\int (\nabla V)\mathrm{d}q = -V + \mathrm{const},$$

unde constanta aditivă din relaţia de mai sus depinde de datele sau punctul iniţial în care se calculează lucrul mecanic. Evident că această constantă care se adună la V nu are nici un efect asupra lui Q.

Pentru sisteme conservative principiul lui Hamilton se scrie sub forma:

$$\int_{t_0}^{t}(\delta T+\delta W)\mathrm{d}t=\delta\int_{t_0}^{t}(T-V)\mathrm{d}t=0,$$

unde $W=-V+\text{const}$ şi comutarea operatorilor δ şi integrală este permisă deoarece ambele funcții energetice T şi V sunt funcții întregi. În cazul general al sistemelor neconservative lucrul virtual δW nu este integrabil şi δ nu se poate deplasa în afara integralei.

De obicei se introduce funcția $L=T-V$, numită *Lagrangean*, în raport cu care principiul lui Hamilton se scrie sub forma:

$$\delta\int_{t_0}^{t}L\mathrm{d}t=0.$$

Lagrangeanul este o funcție $L=L(q,\dot{q},t)$ în care apar atât coordonatele generalizate cât şi vitezele generalizate. De obicei vitezele generalizate apar în expresia energiei cinetice. Coordonatele generalizate apar în expresia energiei potențiale şi de asemenea în mod frecvent şi în expresia energiei cinetice. Pentru sistemele conservative timpul t nu apare în mod explicit, dar acesta poate fi prezent pentru acele sisteme care implică deplasarea restricțiilor, a sistemului de coordonate sau funcții potențial dependente de timp.

Ecuațiile lui Lagrange sunt o consecință directă a principiului lui Hamilton. Într-adevăr, utilizând tehnicile de calcul variațional obținem imediat:

$$\delta\int_{t_0}^{t}T\mathrm{d}t=\int_{t_0}^{t}\sum_{i=1}^{n}\left[\frac{\partial T}{\partial q_i}-\frac{\mathrm{d}}{\mathrm{d}t}\left(\frac{\partial T}{\partial \dot{q}_i}\right)\right]\delta q_i\mathrm{d}t,$$

şi

$$\int_{t_0}^{t}\delta W\mathrm{d}t=\int_{t_0}^{t}\sum_{i=1}^{n}F_i\delta q_i\mathrm{d}t.$$

Din expresia principiului lui Hamilton, ținând seama că δq_i sunt arbitrari, rezultă imediat **ecuațiile Lagrange**:

$$\frac{\partial T}{\partial q_i}-\frac{\mathrm{d}}{\mathrm{d}t}\left(\frac{\partial T}{\partial \dot{q}_i}\right)+F_i=0,\qquad i=1,\cdots,n.$$

Ecuațiile Lagrange sunt cele mai generale ecuații de mişcare. Pentru *sisteme conservative* condiția Euler-Lagrange de staționaritate a integralei care exprimă principiul lui Hamilton conduce imediat la **ecuațiile Lagrange**:

$$\frac{\mathrm{d}}{\mathrm{d}t}\left(\frac{\partial L}{\partial \dot{q}_i}\right)-\frac{\partial L}{\partial q_i}=0,\qquad i=1,\cdots,n.$$

Observăm că ecuațiile Lagrange sunt un sistem de n ecuații diferențiale de ordinul doi, care împreună cu condițiile inițiale furnizează un set complet de condiții pentru descrierea mişcării sistemului.

Ecuațiile Lagrange reprezintă o perfecțiune şi eleganță matematică în sensul reducerii ecuațiilor de mişcare la o formă universală care este aceeaşi pentru toate sistemele de coordonate. Formalismul Lagrangean este exprimat în termenii coordonatelor generalizate şi a vitezelor generalizate. Ecuațiile de mişcare sunt ecuații diferențiale ordinare de ordinul doi, iar mişcarea este exprimată în funcție de valorile inițiale ale coordonatelor şi vitezelor.

Hamilton a transformat cele n ecuații diferențiale de ordinul doi, ecuațiile Lagrange, într-un sistem de $2n$ ecuații diferențiale de ordinul unu în variabilele q_i şi p_i, unde p_i sunt *momentele generalizate*. Deşi sistemul canonic Hamilton se poate deduce direct din ecuațiile Lagrange, totuşi o cale comodă de construcție a acestuia este prin introducerea Hamiltonianului:

$$H(q,p,t) = p.\dot{q} - L(q,\dot{q},t),$$

unde $q,\dot{q}$ şi p sunt poziția, viteza şi respectiv momentul generalizat, în care

$$p_i = \frac{\partial L}{\partial \dot{q}_i}.$$

Cu acestea, din principiul lui Hamilton şi ținând seama de faptul că variațiile δq_i şi δp_i pot fi alese arbitrar, rezultă **sistemul canonic al lui Hamilton**:

$$\frac{\partial H}{\partial p_i} = \dot{q}_i, \quad i = 1,\cdots,n,$$
$$\frac{\partial H}{\partial q_i} = -\dot{p}_i, \quad i = 1,\cdots,n.$$

Ecuațiile de mai sus, cunoscute ca **ecuațiile canonice Hamilton** sau **ecuațiile canonice Jacobi**, reprezintă un sistem de $2n$ ecuații diferențiale de ordinul unu în variabilele q_i şi p_i, $i = 1,\cdots,n,$ care împreună cu condițiile inițiale furnizează un set complet de ecuații diferențiale care descriu mişcarea sistemului considerat.

Diferența principală dintre ecuațiile Lagrange şi sistemul canonic Hamilton este că q_i şi p_i sunt variabile independente în ecuațiile canonice, având aceeaşi poziție în determinarea mişcării sistemului, în timp ce în ecuațiile Lagrange numai q_i sunt variabile independente.

Hamilton a adus mecanica la un nou grad de perfecțiune cu influențe cruciale asupra tuturor domeniilor ştiințifice ca: mecanica fluidelor, teoria macroscopică a câmpului electromagnetic, teoria maşinilor generalizate, teoria oscilațiilor, fenomene de transport, mecanica cuantică, precum şi în calculul

variaţiilor şi în controlul optimal al sistemelor dinamice cu legături în care principiul lui se exprimă ca *principiul lui Pontriaghin*.

3. Exemple de modele matematice din mecanică

În continuare să prezentăm câteva exemple de modele matematice din mecanică, bazate pe ecuaţiile Lagrange, tema acestei prezentări.

3.1. Pendulul plan simplu

Considerăm un pendul simplu format dintr-un punct material de masă m suspendat printr-o legătură rigidă de lungime l, care se mişcă în plan, ca în figura 1.

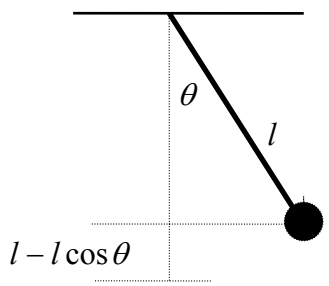

Fig. 1. Pendulul plan simplu

Observăm că viteza pendulului este $v = l\dot{\theta}$. Deci energia cinetică este

$$T = \frac{1}{2}mv^2 = \frac{1}{2}ml^2\dot{\theta}^2.$$

Pe de altă parte, energia potenţială este

$$V = mg(l - l\cos\theta).$$

Cu acstea funcţia Lagrange se scrie imediat sub forma

$$L = T - V = \frac{1}{2}ml^2\dot{\theta}^2 - mg(l - l\cos\theta).$$

Ecuaţiile de mişcare ale pendulului sunt

$$\frac{d}{dt}\left[\frac{\partial L}{\partial\dot{\theta}}\right] - \frac{\partial L}{\partial\theta} = 0,$$

adică

$$\ddot{\theta} + \frac{g}{l}\sin\theta = 0.$$

Aceeaşi ecuaţie de mişcare se obţine din conservarea energiei. Într-adevăr, energia totală a sistemului este:

$$E = \frac{1}{2}ml^2\dot{\theta}^2 + mg(l - l\cos\theta).$$

Deci

$$\frac{dE}{dt} = ml^2\dot{\theta}\ddot{\theta} + mgl\dot{\theta}\sin\theta = 0.$$

Observăm că această ecuație are două soluții: fie $\dot{\theta} = 0$, fie ecuația de mişcare de mai sus. Prima soluție corespunde situației în care pendulul atârnă fără nici un balans. A doua soluție corespunde unui alt tip de mişcare. Dacă energia E este mai mică decât o anumită valoare critică, atunci pendulul se va mişca periodic înainte şi înapoi. Pe de altă parte, dacă energia E este mai mare decât valoarea critică, atunci pendulul se va roti în jurul punctului de suspensie. Dacă energia este egală cu valoarea critică, atunci sunt două posibilități. Prima, dacă pendulul începe mişcarea, atunci acesta se va apropia de poziția verticală din ce în ce mai mult, dar fără să o atingă în timp finit. A doua este situația în care pendulul stă exact în poziție verticală, în care rămâne un timp nedefinit. Dacă energia este zero, atunci pendulul atârnă de punctul de suspensie în poziție verticală.

Valoarea critică a energiei E este acea valoare a energiei potențiale pentru $\theta = \pm\pi$, adică

$$E_{cr} = 2mgl.$$

În acest caz putem determina $\theta(t)$. Într-adevăr, legea de conservare a energiei se scrie:

$$2mgl = \frac{1}{2}ml^2\dot{\theta}^2 + mg(l - l\cos\theta),$$

care se poate rearanja sub forma:

$$\dot{\theta} = 2\omega_0\cos\frac{\theta}{2},$$

unde $\omega_0 = \sqrt{\frac{g}{l}}$ este frecvența micilor oscilații. Considerând că pendulul începe mişcarea din $\theta = 0$, atunci soluția acestei ecuații este

$$\theta(t) = 2\arcsin\left(\frac{1 - \exp(-2\omega_0 t)}{1 + \exp(-2\omega_0 t)}\right).$$

Când timpul creşte, atunci vedem că θ tinde către π. Adică pendulul are exact atâta energie cât îi trebuie pentru a atinge poziția verticală de sus, dar acesta nici odată nu o va atinge în timp finit. Evident că aceasta este o situație idealizată, care nici odată nu va fi întâlnită în practică.

3.2. Pendulul dublu.

Un pendul dublu este un sistem mecanic format din asocierea a două pendule simple, ca în figura 2. Acest sistem mecanic este un exemplu tipic de sistem fizic care poate avea o mişcare haotică. Considerăm pendulul dublu cu masele m_1 şi respectiv m_2 ataşate rigid de barele de lungime l_1 şi respectiv l_2. Se cere să se scrie ecuațiile de mişcare ale acestui sistem, adică modelul matematic al acestuia.

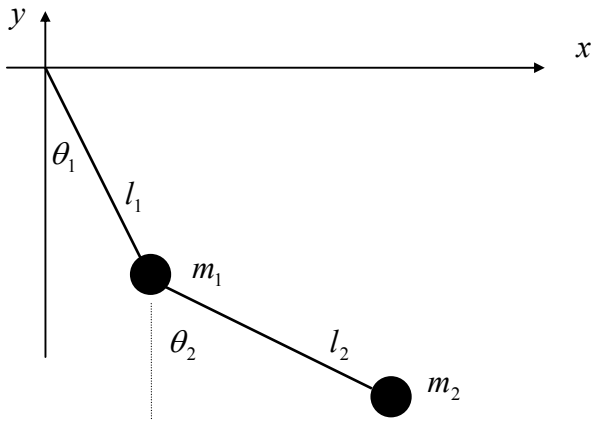

Fig. 2. Pendulul dublu.

În sistemul de coordonate ales pozițiile maselor sunt următoarele:

$$\begin{aligned} x_1 &= l_1 \sin\theta_1 \\ y_1 &= -l_1 \cos\theta_1 \\ x_2 &= l_1 \sin\theta_1 + l_2 \sin\theta_2 \\ y_2 &= -l_1 \cos\theta_1 - l_2 \cos\theta_2 \,. \end{aligned}$$

Vitezele acestora sunt:

$$\begin{aligned} v_1 &= \left[l_1\dot{\theta}_1 \cos\theta_1 \quad l_1\dot{\theta}_1 \sin\theta_1 \right]^T \\ v_2 &= \left[l_1\dot{\theta}_1 \cos\theta_1 + l_2\dot{\theta}_2 \cos\theta_2 \quad l_1\dot{\theta}_1 \sin\theta_1 + l_2\dot{\theta}_2 \sin\theta_2 \right]^T . \end{aligned}$$

Cu acestea energia cinetică a sistemului este:

$$\begin{aligned} T &= \frac{1}{2} m_1 v_1^2 + \frac{1}{2} m_2 v_2^2 \\ &= \frac{1}{2} m_1 l_1^2 \dot{\theta}_1^2 + \frac{1}{2} m_2 \left[l_1^2 \dot{\theta}_1^2 + l_2^2 \dot{\theta}_2^2 + 2 l_1 l_2 \dot{\theta}_1 \dot{\theta}_2 \cos(\theta_1 - \theta_2) \right]. \end{aligned}$$

Energia potențială a sistemului este:

$$\begin{aligned} V &= m_1 g y_1 + m_2 g y_2 \\ &= -(m_1 + m_2) g l_1 \cos\theta_1 - m_2 g l_2 \cos\theta_2 \,. \end{aligned}$$

Dispunând de expresia energiilor putem imediat scrie Lagrangeanul sistemului ca:

$$\begin{aligned} L &= T - V \\ &= \frac{1}{2}(m_1 + m_2)l_1^2\dot{\theta}_1^2 + \frac{1}{2}m_2 l_2^2\dot{\theta}_2^2 \\ &\quad + m_2 l_1 l_2 \dot{\theta}_1\dot{\theta}_2 \cos(\theta_1 - \theta_2) + (m_1 + m_2)gl_1 \cos\theta_1 + m_2 g l_2 \cos\theta_2 . \end{aligned}$$

Cu acestea, ecuațiile de mişcare ale sistemului sunt următoarele:

$$\frac{\mathrm{d}}{\mathrm{d}t}\left(\frac{\partial L}{\partial \dot{\theta}_1}\right) - \frac{\partial L}{\partial \theta_1} = 0,$$

$$\frac{\mathrm{d}}{\mathrm{d}t}\left(\frac{\partial L}{\partial \dot{\theta}_2}\right) - \frac{\partial L}{\partial \theta_2} = 0,$$

Avem succesiv:

$$\frac{\partial L}{\partial \theta_1} = -(m_1 + m_2)gl_1 \sin\theta_1 - m_2 l_1 l_2 \dot{\theta}_1\dot{\theta}_2 \sin(\theta_1 - \theta_2),$$

$$\frac{\partial L}{\partial \dot{\theta}_1} = (m_1 + m_2)l_1^2\dot{\theta}_1 + m_2 l_1 l_2 \dot{\theta}_2 \cos(\theta_1 - \theta_2),$$

$$\begin{aligned} \frac{\mathrm{d}}{\mathrm{d}t}\left(\frac{\partial L}{\partial \dot{\theta}_1}\right) &= (m_1 + m_2)l_1^2\ddot{\theta}_1 + m_2 l_1 l_2 \ddot{\theta}_2 \cos(\theta_1 - \theta_2) \\ &\quad - m_2 l_1 l_2 \dot{\theta}_2(\dot{\theta}_1 - \dot{\theta}_2)\sin(\theta_1 - \theta_2), \end{aligned}$$

respectiv:

$$\frac{\partial L}{\partial \theta_2} = m_2 l_1 l_2 \dot{\theta}_1\dot{\theta}_2 \sin(\theta_1 - \theta_2) - m_2 g l_2 \sin\theta_2,$$

$$\frac{\partial L}{\partial \dot{\theta}_2} = m_2 l_2^2\dot{\theta}_2 + m_2 l_1 l_2 \dot{\theta}_1 \cos(\theta_1 - \theta_2),$$

$$\begin{aligned} \frac{\mathrm{d}}{\mathrm{d}t}\left(\frac{\partial L}{\partial \dot{\theta}_2}\right) &= m_2 l_2^2\ddot{\theta}_2 + m_2 l_1 l_2 \ddot{\theta}_1 \cos(\theta_1 - \theta_2) \\ &\quad - m_2 l_1 l_2 \dot{\theta}_1(\dot{\theta}_1 - \dot{\theta}_2)\sin(\theta_1 - \theta_2). \end{aligned}$$

Cu acestea ecuațiile Lagrange ale sistemului sunt:

$$\begin{aligned} &(m_1 + m_2)l_1\ddot{\theta}_1 + m_2 l_2 \ddot{\theta}_2 \cos(\theta_1 - \theta_2) + m_2 l_2 \dot{\theta}_2^2 \sin(\theta_1 - \theta_2) \\ &\qquad + (m_1 + m_2)g\sin\theta_1 = 0, \\ &m_2 l_2 \ddot{\theta}_2 + m_2 l_1 \ddot{\theta}_1 \cos(\theta_1 - \theta_2) - m_2 l_1 \dot{\theta}_1^2 \sin(\theta_1 - \theta_2) \\ &\qquad + m_2 g \sin\theta_2 = 0. \end{aligned}$$

3.3. Pendulul invers.

Considerăm un cărucior de masă m_c care se poate deplasa pe un plan orizontal cu coeficientul de frecare b, pe care se află un pendul de masă m_p, inerție I şi lungime $2l$, ca în figura 3.

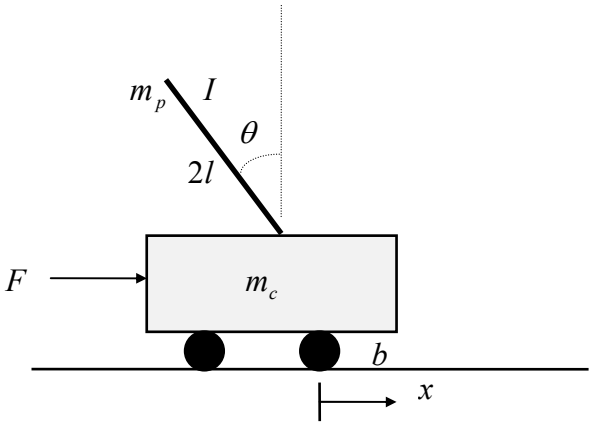

Fig. 3. Pendulul invers.

Considerând căruciorul solicitat de o forță F să se determine modelul matematic al mişcării pendulului.

Pentru determinarea modelului matematic al mişcării vom separa corpurile şi vom aplica a doua lege a lui Newton pentru fiecare dintre ele. În figura 4 se arată corpurile împreună cu toate forțele care acționează asupra lor.

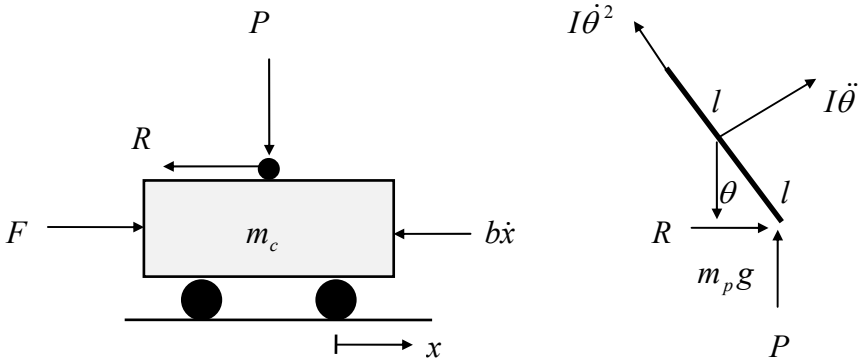

Fig. 4. Forțele care acționează asupra corpurilor.

Legea a doua a lui Newton aplicată căruciorului în direcția orizontală furnizează ecuația:

$$m_c\ddot{x} + b\dot{x} + R = F. \tag{3.3.1}$$

Analog, însumând forțele care acționează asupra pendulului în direcția orizontală, găsim:

$$R = m_p\ddot{x} + m_p l\ddot{\theta}\cos\theta - m_p l\dot{\theta}^2\sin\theta. \tag{3.3.2}$$

Din (3.3.1) şi (3.3.2) obținem:

$$(m_c + m_p)\ddot{x} + b\dot{x} + m_p l\ddot{\theta}\cos\theta - m_p l\dot{\theta}^2\sin\theta = F. \tag{3.3.3}$$

Pentru a obține a doua ecuație a mişcării scriem bilanțul forțelor care acționează perpendicular pe pendul, precum şi bilanțul momentelor în centrul de masă al pendulului. Obținem:

$$P\sin\theta + R\cos\theta - m_p g\sin\theta = m_p l\ddot{\theta} + m_p \ddot{x}\cos\theta. \qquad (3.3.4)$$

şi

$$-Pl\sin\theta - Rl\cos\theta = I\ddot{\theta}. \qquad (3.3.5)$$

Din (3.3.4) şi (3.3.5) rezultă cea dea doua ecuație a mişcării:

$$\left(I + m_p l^2\right)\ddot{\theta} + m_p gl\sin\theta = -m_p l\ddot{x}\cos\theta.$$

Deci modelul matematic al pendulului invers este:

$$(m_c + m_p)\ddot{x} + b\dot{x} + m_p l\ddot{\theta}\cos\theta - m_p l\dot{\theta}^2\sin\theta = F.$$

$$\left(I + m_p l^2\right)\ddot{\theta} + m_p gl\sin\theta = -m_p l\ddot{x}\cos\theta.$$

Să prezentăm acum modelul liniarizat al pendulului în jurul lui $\theta = \pi$. Presupunem că $\theta = \pi + \varphi$, unde φ este un unghi mic pe care-l face pendulul cu verticala locului. Atunci, $\cos\theta = -1$, $\sin\theta = -\varphi$ şi $\dot{\theta}^2 = 0$. Ca atare, în jurul poziției verticale modelul liniarizat al pendulului este:

$$(m_c + m_p)\ddot{x} + b\dot{x} - m_p l\ddot{\varphi} = F,$$

$$\left(I + m_p l^2\right)\ddot{\varphi} - m_p gl\varphi = m_p l\ddot{x}.$$

Considerând ca variabile de stare mărimile: x, $\dot{x}$, φ şi $\dot{\varphi}$, iar ca ieşire poziția căruciorului x şi aceea a pendulului φ, rezultă următorul model liniarizat în reprezentarea variabilelor de stare.

$$\begin{bmatrix} \dot{x} \\ \ddot{x} \\ \dot{\varphi} \\ \ddot{\varphi} \end{bmatrix} = \begin{bmatrix} 0 & 1 & 0 & 0 \\ 0 & \dfrac{-b(I + m_p l^2)}{(m_c + m_p)I + m_c m_p l^2} & \dfrac{m_p^2 l^2 g}{(m_c + m_p)I + m_c m_p l^2} & 0 \\ 0 & 0 & 0 & 1 \\ 0 & \dfrac{-m_p lb}{(m_c + m_p)I + m_c m_p l^2} & \dfrac{(m_c + m_p)m_p gl}{(m_c + m_p)I + m_c m_p l^2} & 0 \end{bmatrix} \begin{bmatrix} x \\ \dot{x} \\ \varphi \\ \dot{\varphi} \end{bmatrix} +$$

$$\begin{bmatrix} 0 \\ \dfrac{I + m_p l^2}{(m_c + m_p)I + m_c m_p l^2} \\ 0 \\ \dfrac{m_p l}{(m_c + m_p)I + m_c m_p l^2} \end{bmatrix} F,$$

$$y = \begin{bmatrix} 1 & 0 & 0 & 0 \\ 0 & 0 & 1 & 0 \end{bmatrix} \begin{bmatrix} x \\ \dot{x} \\ \varphi \\ \dot{\varphi} \end{bmatrix}.$$

3.4. Pendulul lui Furuta.

În figura 5 se arată o variantă a pendulului lui Furuta. Acesta constă din patru corpuri inerțiale legate rigid între ele. Un ax central cu momentul de inerție J, rigid legat de un braț orizontal de lungime l_a şi masă m_a, brațul pendulului de lungime l_p şi masă m_p, legat la un capăt de brațul orizontal şi la celălalt capăt purtând o masă m. Se presupune că în brațele pendulului masele sunt uniform distribuite. Scopul este de a descrie ecuațiile de mişcare ale pendulului când axul central este solicitat cu un moment extern u.

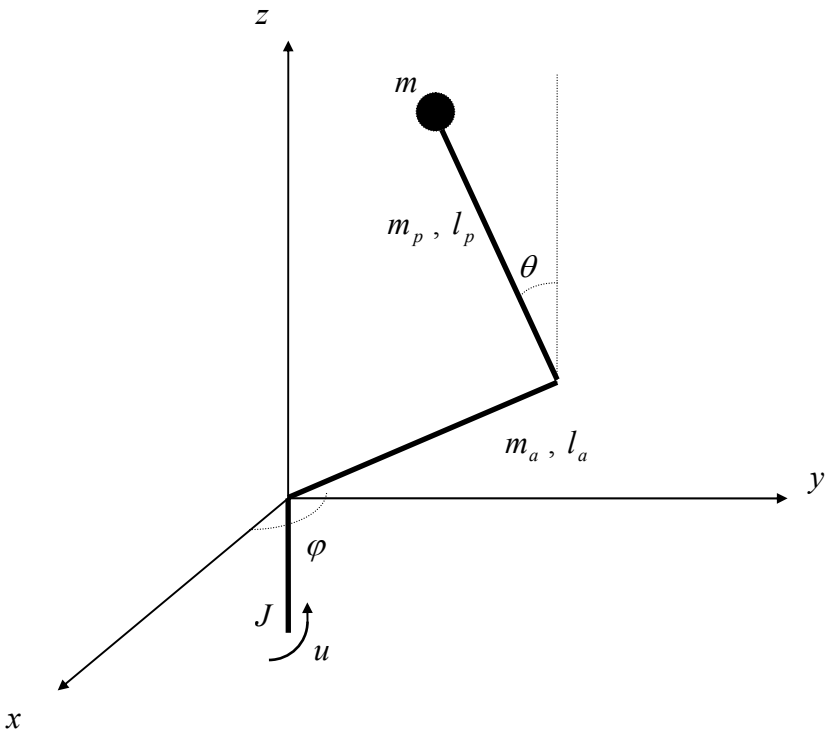

Fig. 5. Pendulul lui Furuta.

Pentru a scrie ecuațiile de mişcare ale acestei structuri mecanice considerăm un punct P de pe brațul pendulului, caracterizat de vectorul de poziție:

$$r(r_a, r_p) = \left[r_x(r_a, r_p) \quad r_y(r_a, r_p) \quad r_z(r_a, r_p) \right]^T \tag{3.4.1}$$

unde

$$\begin{aligned} r_x(r_a, r_p) &= r_a \cos\varphi - r_p \sin\varphi \sin\theta, \\ r_y(r_a, r_p) &= r_a \sin\varphi + r_p \cos\varphi \sin\theta, \\ r_z(r_a, r_p) &= r_p \cos\theta. \end{aligned} \tag{3.4.2}$$

Variabila r_a este poziția radială pe brațul orizontal, iar r_p este poziția radială pe brațul pendulului, măsurate de la centrul de rotație corespunzător celor două corpuri. Cu acestea, viteza punctului P este:

$$v(r_a, r_p) = \left[v_x(r_a, r_p) \quad v_y(r_a, r_p) \quad v_z(r_a, r_p) \right]^T, \tag{3.4.3}$$

unde:

$$\begin{aligned} v_x(r_a, r_p) &= -r_a \dot{\varphi} \sin\varphi - r_p \dot{\theta} \cos\theta \sin\varphi - r_p \dot{\varphi} \sin\theta \cos\varphi, \\ v_y(r_a, r_p) &= r_a \dot{\varphi} \cos\varphi + r_p \dot{\theta} \cos\theta \cos\varphi - r_p \dot{\varphi} \sin\theta \sin\varphi, \\ v_z(r_a, r_p) &= -r_p \dot{\theta} \sin\theta. \end{aligned} \tag{3.4.4}$$

Din relațiile de mai sus putem imediat calcula expresia pătratului mărimii vitezei punctului P:

$$v^2(r_a, r_p) = \left(r_a^2 + r_p^2 \sin^2\theta \right) \dot{\varphi}^2 + 2 r_a r_p \dot{\varphi}\dot{\theta} \cos\theta + r_p^2 \dot{\theta}^2. \tag{3.4.5}$$

Pentru determinarea ecuațiilor de mişcare ale pendulului, în continuare vom prezenta expresia energiilor cinetice şi potențiale corespunzătoare sistemului de corpuri din figura 5. Energia cinetică se calculează ca:

$$T = \frac{1}{2} \int v^2 \mathrm{d}m,$$

unde v este dat de (3.4.5). Energia potențială este calculată sub forma:

$$V = g \int r_z \mathrm{d}m,$$

unde r_z este dat de (3.4.2).

Considerând, pe rând, fiecare dintre cele patru corpuri inerțiale, obținem:

Axul vertical al pendulului:

$$T_c = \frac{1}{2} J \dot{\varphi}^2,$$
$$V_c = 0;$$

Brațul orizontal al pendulului:

$$T_a = \frac{1}{2} \int_0^l v^2(s, 0) \frac{m_a}{l_a} \mathrm{d}s = \frac{1}{6} m_a l_a^2 \dot{\varphi}^2,$$
$$V_a = 0;$$

Brațul pendulului:

$$T_p = \frac{1}{2} \int_0^{l_p} v^2(l_a, s) \frac{m_p}{l_p} \mathrm{d}s =$$
$$\frac{1}{2} m_p \left(l_a^2 + \frac{1}{3} l_p^2 \sin^2\theta \right) \dot{\varphi}^2 + \frac{1}{2} m_p l_a l_p \dot{\varphi}\dot{\theta} \cos\theta + \frac{1}{6} m_p l_p^2 \dot{\theta}^2,$$

$$V_p = g\int_0^{l_p} r_z(l_a, s)\frac{m_p}{l_p}\mathrm{d}s = \frac{1}{2}m_p g l_p \cos\theta;$$

Masa m:

$$T_m = \frac{1}{2}m\left(l_a^2 + l_p^2\sin^2\theta\right)\dot{\varphi}^2 + m l_a l_p \dot{\varphi}\dot{\theta}\cos\theta + \frac{1}{2}m l_p^2\dot{\theta}^2,$$
$$V_m = m g l_p \cos\theta.$$

Cu acestea, energia cinetică totală a pendulului este:

$$T = T_c + T_a + T_p + T_m, \tag{3.4.6}$$

iar energia potențială totală:

$$V = V_c + V_a + V_p + V_m. \tag{3.4.7}$$

Considerând Lagrangeanul sistemului:

$$L = T - V, \tag{3.4.8}$$

atunci ecuațiile de mişcare sunt date de:

$$\frac{\mathrm{d}}{\mathrm{d}t}\left(\frac{\partial L}{\partial\dot{\varphi}}\right) - \frac{\partial L}{\partial\varphi} = 0, \tag{3.4.9}$$

$$\frac{\mathrm{d}}{\mathrm{d}t}\left(\frac{\partial L}{\partial\dot{\theta}}\right) - \frac{\partial L}{\partial\theta} = u, \tag{3.4.10}$$

Ținând seama de relațiile de mai sus obținem:

$$\frac{\partial L}{\partial\varphi} = 0,$$
$$\frac{\partial L}{\partial\dot{\varphi}} = \left(J + \left(m + \frac{1}{3}m_a + m_p\right)l_a^2 + \left(m + \frac{1}{3}m_p\right)l_p^2\sin^2\theta\right)\dot{\varphi}$$
$$+\left(m + \frac{1}{2}m_p\right)l_a l_p\dot{\theta}\cos\theta,$$
$$\frac{\partial L}{\partial\theta} = \left(m + \frac{1}{3}m_p\right)l_p^2\dot{\varphi}^2\cos\theta\sin\theta - \left(m + \frac{1}{2}m_p\right)l_a l_p\dot{\varphi}\dot{\theta}\sin\theta$$
$$+\left(m + \frac{1}{2}m_p\right)g l_p\sin\theta,$$
$$\frac{\partial L}{\partial\dot{\theta}} = \left(m + \frac{1}{2}m_p\right)l_a l_p\dot{\varphi}\cos\theta + \left(m + \frac{1}{3}m_p\right)l_p^2\dot{\theta}.$$

Introducând aceste relații în ecuațiile Lagrange (3.4.9)-(3.4.10) de mai sus şi considerând notațiile:

$$\alpha = J + \left(m + \frac{1}{3}m_a + m_p\right)l_a^2,$$
$$\beta = \left(m + \frac{1}{3}m_p\right)l_p^2,$$
$$\gamma = \left(m + \frac{1}{2}m_p\right)l_a l_p,$$
$$\delta = \left(m + \frac{1}{2}m_p\right)g l_p,$$

obținem următorul model matematic al mişcării pendulului lui Furuta:

$$\left(\alpha + \beta \sin^2\theta\right)\ddot{\varphi} + \gamma\ddot{\theta}\cos\theta + 2\beta\dot{\varphi}\dot{\theta}\cos\theta\sin\theta - \gamma\dot{\theta}^2\sin\theta = u, \quad (3.4.11)$$
$$\gamma\ddot{\varphi}\cos\theta + \beta\ddot{\theta} - \beta\dot{\varphi}^2\cos\theta\sin\theta - \delta\sin\theta = 0. \quad (3.4.12)$$

Pentru integrare, modelul (3.4.11)-(3.4.12) se poate pune sub următoarea formă convenabilă:

$$\frac{\mathrm{d}}{\mathrm{d}t}\varphi = \dot{\varphi},$$
$$\frac{\mathrm{d}}{\mathrm{d}t}\dot{\varphi} = \frac{1}{\alpha\beta + \beta^2\sin^2\theta - \gamma^2\cos^2\theta}\Big\{\beta\gamma\dot{\theta}^2\sin\theta - \beta\gamma\dot{\varphi}^2\sin\theta\cos^2\theta - 2\beta^2\dot{\varphi}\dot{\theta}\sin\theta\cos\theta - \gamma\delta\sin\theta\cos\theta + \beta u\Big\},$$
$$\frac{\mathrm{d}}{\mathrm{d}t}\theta = \dot{\theta},$$
$$\frac{\mathrm{d}}{\mathrm{d}t}\dot{\theta} = \frac{1}{\alpha\beta + \beta^2\sin^2\theta - \gamma^2\cos^2\theta}\Big\{-\gamma^2\dot{\theta}^2\sin\theta\cos\theta + \beta\left(\alpha + \beta\sin^2\theta\right)\dot{\varphi}^2\sin\theta\cos\theta + 2\beta\gamma\dot{\varphi}\dot{\theta}\sin\theta\cos^2\theta + \delta\left(\alpha + \beta\sin^2\theta\right)\sin\theta - \gamma u\cos\theta\Big\}.$$

3.5. Pendule cuplate elastic

Să considerăm două pendule, ambele cu aceeaşi masă m şi lungime l legate printr-un arc, ca în figura 6. Distanţa dintre punctele de aplicaţie ale pendulelor este d.

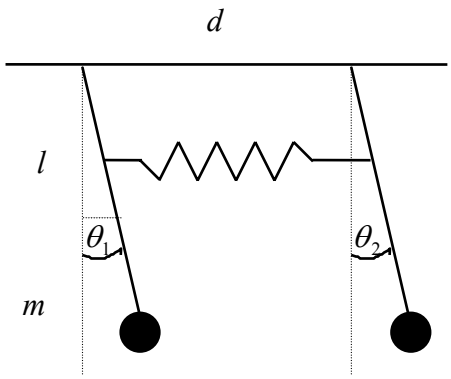

Fig. 6. Două pendule cuplate printr-un arc elastic.

Când pendulele sunt scoase din poziţia lor de echilibru cu un unghi θ_1, respectiv θ_2, atunci masele se situează pe poziţiile ($l\sin\theta_1$, $-l\cos\theta_1$) şi respectiv ($d + l\sin\theta_2$, $-l\cos\theta_2$). Deci, lungimea cu care arcul este deformat este

$$\begin{aligned}\Delta x &= \sqrt{(d + l\sin\theta_2 - l\sin\theta_1)^2 + (l\cos\theta_2 - l\cos\theta_1)^2} - d \\ &= \sqrt{2l^2[1-\cos(\theta_2-\theta_1)] + 2dl(\sin\theta_2 - \sin\theta_1) + d^2} - d.\end{aligned}$$

Pentru deplasări mici (adică θ_i mici) avem: $\sin\theta_i \approx \theta_i$ şi $\cos\theta_i \approx 1 - \theta_i^2/2$. Deci

$$\Delta x \approx \sqrt{l^2(\theta_2-\theta_1)^2 + 2dl(\theta_2-\theta_1) + d^2} - d.$$

Presupunând că $\theta_i << 1$, atunci putem scrie:

$$\Delta x \approx d\left(\sqrt{1 + \frac{2l}{d}(\theta_2-\theta_1)} - 1\right) \approx d\left(1 + \frac{1}{2}\frac{2l}{d}(\theta_2-\theta_1) - 1\right) = l(\theta_2-\theta_1).$$

Cu acestea energia cinetică a maselor este:

$$T = \frac{1}{2}ml^2(\dot{\theta}_1^2 + \dot{\theta}_2^2),$$

iar energia potenţială:

$$\begin{aligned}V &= -mgl(\cos\theta_1 + \cos\theta_2) + \frac{1}{2}k(\Delta x)^2 \\ &= -mgl(\cos\theta_1 + \cos\theta_2) + \frac{1}{2}kl^2(\theta_2-\theta_1)^2.\end{aligned}$$

Cu acestea funcția Lagrange se scrie imediat sub forma

$$L = T - V = \frac{1}{2} ml^2 (\dot{\theta}_1^2 + \dot{\theta}_2^2) + mgl(\cos\theta_1 + \cos\theta_2) - \frac{1}{2} kl^2 (\theta_2 - \theta_1)^2 .$$

Ecuațiile de mişcare ale pendulului sunt

$$\frac{d}{dt}\left[\frac{\partial L}{\partial \dot{\theta}_i}\right] - \frac{\partial L}{\partial \theta_i} = 0,$$

adică:

$$ml^2 \ddot{\theta}_1 = -(mgl + kl^2)\theta_1 + kl^2 \theta_2 ,$$
$$ml^2 \ddot{\theta}_2 = kl^2 \theta_1 - (mgl + kl^2)\theta_2 .$$

3.6. Sfera pe o bară înclinată

O sferă de masă m este plasată pe o bară înclinată sub unghiul θ care este antrenată la centru de un cuplu τ. Sfera, aflată la distanța r de centrul barei se poate mişca liber în lungul acesteia, figura 7. Se cere modelul matematic al mişcării sferei pe bară.

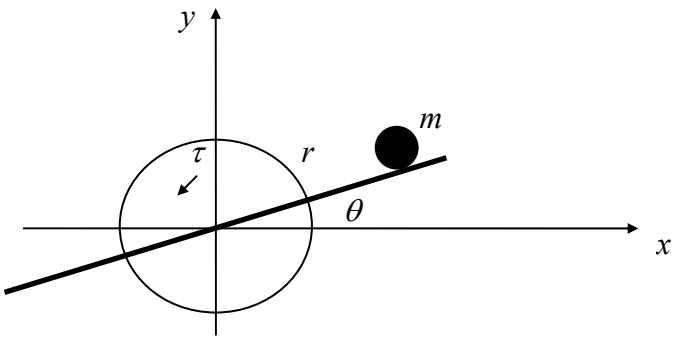

Fig. 7. O sferă pe o bară înclinată.

Presupunem că atât motorul cât şi bara nu au inerție rotațională, astfel încât inerția de rotație a sistemului în jurul centrului de rotație este:

$$J = mr^2 .$$

Energia cinetică a sistemului este:

$$T = \frac{1}{2} J\dot{\theta}^2 + \frac{1}{2} m\dot{r}^2 = \frac{1}{2} m\left(r^2\dot{\theta}^2 + \dot{r}^2\right).$$

Energia potențială este:

$$V = mgy = mgr\sin\theta .$$

Cuacestea Lagrangeanul sistemului este:

$$L = T - V = \frac{1}{2} m\left(r^2\dot{\theta}^2 + \dot{r}^2\right) - mgr\sin\theta .$$

Presupunem că sistemul are un coeficient de frecare rotaţională vâscoasă ν, atunci puterea disipată este:

$$P = \frac{1}{2}\nu\dot{\theta}^2.$$

Introducând coordonatele generalizate $q = \begin{bmatrix}\theta & r\end{bmatrix}^T$, precum şi forţa generalizată $Q = \begin{bmatrix}\tau & 0\end{bmatrix}^T$, atunci ecuaţiile Lagrange sunt următoarele:

$$\frac{\mathrm{d}}{\mathrm{d}t}\left(\frac{\partial L}{\partial \dot{q}}\right) - \frac{\partial L}{\partial q} + \frac{\partial P}{\partial \dot{q}} = Q.$$

Ţinând seama de expresiile Lagrangeanului şi a puterii disipate rezultă ecuaţiile Lagrange:

$$\frac{\mathrm{d}}{\mathrm{d}t}\begin{bmatrix} mr^2\dot{\theta} \\ m\dot{r} \end{bmatrix} - \begin{bmatrix} -mgr\cos\theta \\ mr\dot{\theta}^2 - mg\sin\theta \end{bmatrix} + \begin{bmatrix} \nu\dot{\theta} \\ 0 \end{bmatrix} = \begin{bmatrix} \tau \\ 0 \end{bmatrix},$$

adică:

$$\begin{bmatrix} 2mr\dot{r}\dot{\theta} + mr^2\ddot{\theta} \\ m\ddot{r} \end{bmatrix} - \begin{bmatrix} -mgr\cos\theta \\ mr\dot{\theta}^2 - mg\sin\theta \end{bmatrix} + \begin{bmatrix} \nu\dot{\theta} \\ 0 \end{bmatrix} = \begin{bmatrix} \tau \\ 0 \end{bmatrix}.$$

De unde rezultă că:

$$\ddot{\theta} = -\frac{2\dot{r}\dot{\theta}}{r} - \frac{g\cos\theta}{r} - \frac{\nu\dot{\theta}}{mr^2} + \frac{\tau}{mr^2},$$
$$\ddot{r} = r\dot{\theta}^2 - g\sin\theta.$$

Cu acestea modelul matematic al mişcării sferei pe bară este:

$$\frac{\mathrm{d}}{\mathrm{d}t}\theta = \dot{\theta},$$
$$\frac{\mathrm{d}}{\mathrm{d}t}\dot{\theta} = -\left(\frac{2\dot{r}}{r} + \frac{\nu}{mr^2}\right)\dot{\theta} - \frac{g\cos\theta}{r} + \frac{\tau}{mr^2},$$
$$\frac{\mathrm{d}}{\mathrm{d}t}r = \dot{r},$$
$$\frac{\mathrm{d}}{\mathrm{d}t}\dot{r} = m\dot{\theta}^2 - g\sin\theta.$$

3.7. Modelul unor mase cuplate prin legături elastice

Să considerăm sistemul mecanic format din două mase m_1 şi m_2, cuplate ca în figura 8, prin intermediul legăturilor elastice cu coeficienţii k_1 şi respectiv k_2. Sistemul are două grade de libertate x_1 şi x_2. Energia cinetică a sistemului este:

$$T = \frac{1}{2} m_1 \dot{x}_1^2 + \frac{1}{2} m_2 (\dot{x}_1 + \dot{x}_2)^2 .$$

Energia potențială este:

$$V = -m_1 g x_1 - m_2 g (x_1 + x_2) + \frac{1}{2} k_1 x_1^2 + \frac{1}{2} k_2 x_2^2 .$$

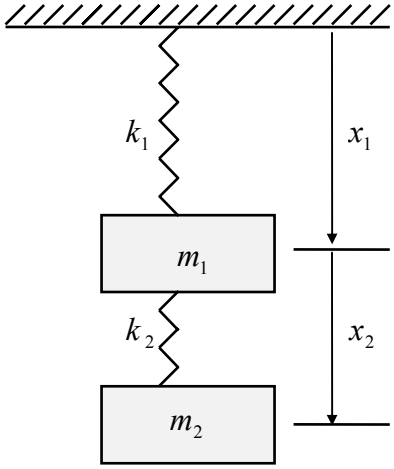

Fig. 8. Mase cuplate prin legături elastice

Cu acestea ecuațiile de mişcare a sistemului sunt următoarele:

$$\frac{d}{dt}\left(\frac{\partial L}{\partial \dot{x}_1}\right) - \frac{\partial L}{\partial x_1} = m_1 \ddot{x}_1 + m_2 (\ddot{x}_1 + \ddot{x}_2) - m_1 g - m_2 g + k_1 x_1 =$$
$$(m_1 + m_2)\ddot{x}_1 + m_2 \ddot{x}_2 + k_1 x_1 - (m_1 + m_2) g = 0,$$

$$\frac{d}{dt}\left(\frac{\partial L}{\partial \dot{x}_2}\right) - \frac{\partial L}{\partial x_2} = m_2 (\ddot{x}_1 + \ddot{x}_2) - m_2 g + k_2 x_2 =$$
$$m_2 \ddot{x}_1 + m_2 \ddot{x}_2 + k_2 x_2 - m_2 g = 0.$$

Deci modelul matematic al sistemului de corpuri cu legături elastice de mai sus este:

$$\ddot{x}_1 + \frac{m_2}{m_1 + m_2} \ddot{x}_2 + \frac{k_1}{m_1 + m_2} x_1 = g,$$
$$\ddot{x}_1 + \ddot{x}_2 + \frac{k_2}{m_2} x_2 = g.$$

3.8. Ecuațiile de mişcare ale unui tren.

Considerăm un tren format dintr-o maşină şi un vagon cu masele m_1, respectiv m_2. Maşina este cuplată cu vagonul printr-o legătură elastică (arc) cu coeficientul k. Fie F forța aplicată maşinii şi μ coeficientul de frecare de rostogolire. Sistemul, împreună cu forțele care acționează asupra lui, se poate reprezenta ca în figura 9.

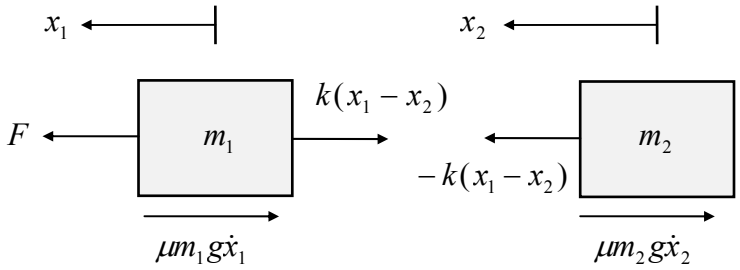

Fig. 9. Reprezentarea forțelor care lucrează asupra sistemului de corpuri.

Aplicând legea a doua a lui Newton obținem ecuațiile de mişcare ale trenului:

$$m_1\ddot{x}_1 = F - k(x_1 - x_2) - \mu m_1 g\dot{x}_1,$$
$$m_2\ddot{x}_2 = k(x_1 - x_2) - \mu m_2 g\dot{x}_2.$$

Aceste ecuații se pot exprima sub forma ecuațiilor de stare. Într-adevăr, alegând x_1 şi x_2 ca variabile de stare, atunci putem scrie:

$$\dot{x}_1 = v_1$$
$$\dot{v}_1 = -\frac{k}{m_1}x_1 + \frac{k}{m_1}x_2 - \mu g v_1 + \frac{F}{m_1}$$
$$\dot{x}_2 = v_2$$
$$\dot{v}_2 = \frac{k}{m_2}x_1 - \frac{k}{m_2}x_2 - \mu g v_2$$

Alegând acum viteza sistemului ca mărime de ieşire, atunci forma matriceală a modelului mişcării trenului este următoarea:

$$\begin{bmatrix} \dot{x}_1 \\ \dot{v}_1 \\ \dot{x}_2 \\ \dot{v}_2 \end{bmatrix} = \begin{bmatrix} 0 & 1 & 0 & 0 \\ -k/m_1 & -\mu g & k/m_1 & 0 \\ 0 & 0 & 0 & 1 \\ k/m_2 & 0 & -k/m_2 & -\mu g \end{bmatrix} \begin{bmatrix} x_1 \\ v_1 \\ x_2 \\ v_2 \end{bmatrix} + \begin{bmatrix} 0 \\ 1/m_1 \\ 0 \\ 0 \end{bmatrix} F$$

$$y = \begin{bmatrix} 0 & 1 & 0 & 0 \end{bmatrix} \begin{bmatrix} x_1 \\ v_1 \\ x_2 \\ v_2 \end{bmatrix}.$$

3.9. Modelul matematic al suspensiei unui vehicul.

Proiectarea suspensiei unui vehicul este o problemă interesantă. Fie sistemul din figura 10, în care se reprezintă vehiculul de masă m_1, sistemul de suspensie de masă m_2, împreună cu elementele care realizează suspensia: k_1 coeficientul de elasticitate al suspensiei, k_2 coeficientul de elasticitate al roții, b_1 coeficientul de amortizare al sistemului de suspensie, b_2 coeficientul de amortizare al roții, w perturbația cu care drumul acționează asupra suspensiei şi u forța externă (de proiectat).

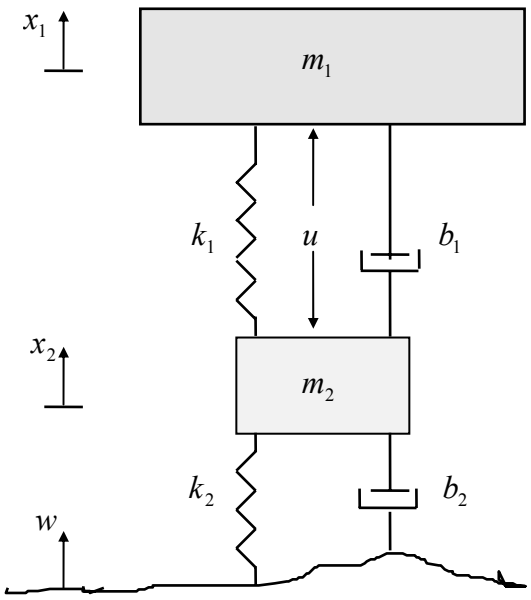

Fig. 10. Reprezentarea suspensiei unui vehicul.

O suspensie de calitate trebuie să realizeze o comportare bună a vehiculului şi un confort în ceea ce priveşte interacțiunea cu denivelările drumului. Când vehiculul este solicitat de denivelările drumului, atunci acesta nu trebuie să aibă oscilații prea mari, şi în cazul apariției lor acestea trebuie să se stingă repede. Deoarece distanța $x_1 - w$ este greu de măsurat şi deformarea cauciucurilor roților

$x_2 - w$ este neglijabilă, rezultă că vom utiliza distanța $x_1 - x_2$ a mărime de ieşire în raport cu care vom face analiza comportării suspensiei.

Din cea dea doua lege a lui Newton obținem ecuațiile de mişcare:

$$m_1\ddot{x}_1 = -b_1(\dot{x}_1 - \dot{x}_2) - k_1(x_1 - x_2) + u$$
$$m_2\ddot{x}_2 = b_1(\dot{x}_1 - \dot{x}_2) + k_1(x_1 - x_2) + b_2(\dot{w} - \dot{x}_2) + k_2(w - x_2) - u.$$

Pentru a obține o reprezentare în spațiul stărilor trebuie să selectăm variabilele de stare. Pe moment nu cunoaştem care este cea mai bună alegere ale acestor variabile. De aceea, vom începe prin a scrie:

$$\ddot{x}_1 = -\frac{b_1}{m_1}(\dot{x}_1 - \dot{x}_2) - \frac{k_1}{m_1}(x_1 - x_2) + \frac{u}{m_1}$$
$$\ddot{x}_2 = \frac{b_1}{m_2}(\dot{x}_1 - \dot{x}_2) + \frac{k_1}{m_2}(x_1 - x_2) + \frac{b_2}{m_2}(\dot{w} - \dot{x}_2) + \frac{k_2}{m_2}(w - x_2) - \frac{u}{m_2}.$$

Alegem prima variabilă de stare ca fiind poziția x_1. Deoarece derivata intrării nu apare în ecuația lui $\ddot{x}_1$ vom alege a doua variabilă de stare ca $\dot{x}_1$. A treia variabilă de stare o alegem ca fiind $z_1 = x_1 - x_2$. Cu acestea, putem scrie:

$$\ddot{x}_1 = -\frac{b_1}{m_1}\dot{z}_1 - \frac{k_1}{m_1}z_1 + \frac{u}{m_1}$$
$$\ddot{x}_2 = \frac{b_1}{m_2}\dot{z}_1 + \frac{k_1}{m_2}z_1 + \frac{b_2}{m_2}(\dot{w} - \dot{x}_2) + \frac{k_2}{m_2}(w - x_2) - \frac{u}{m_2}.$$

Scăzând a doua ecuație de mai sus din prima, obținem:

$$\ddot{z}_1 = -\left(\frac{b_1}{m_1} + \frac{b_1}{m_2}\right)\dot{z}_1 - \left(\frac{k_1}{m_1} + \frac{k_1}{m_2}\right)z_1 - \frac{b_2}{m_2}(\dot{w} - \dot{x}_2)$$
$$- \frac{k_2}{m_2}(w - x_2) + \left(\frac{1}{m_1} + \frac{1}{m_2}\right)u\ .$$

Integrând obținem:

$$\dot{z}_1 = -\left(\frac{b_1}{m_1} + \frac{b_1}{m_2}\right)z_1 - \frac{b_2}{m_2}(w - x_2)$$
$$+ \int_0^t \left[-\left(\frac{k_1}{m_1} + \frac{k_1}{m_2}\right)z_1 - \frac{k_2}{m_2}(w - x_2) + \left(\frac{1}{m_1} + \frac{1}{m_2}\right)u \right] \mathrm{d}t.$$

Observăm că în această ecuație nu apare derivata intrării. Mai mult, deoarece $x_2 = x_1 - z_1$, rezultă că $\dot{z}_1$ este exprimat numai în funcție de stările selectate până acum şi de intrare. Ca atare, integrala din relația de mai sus o notăm cu z_2. Deci

$$\dot{z}_2 = -\left(\frac{k_1}{m_1} + \frac{k_1}{m_2}\right) z_1 - \frac{k_2}{m_2}(w - x_1 + z_1) + \left(\frac{1}{m_1} + \frac{1}{m_2}\right) u.$$

Cu acestea, putem scrie:

$$\dot{z}_1 = -\left(\frac{b_1}{m_1} + \frac{b_1}{m_2}\right) z_1 - \frac{b_2}{m_2}(w - x_1 - z_1) + z_2.$$

Substituind această relație în ecuația lui $\ddot{x}_1$ obținem:

$$\ddot{x}_1 = -\left(\frac{b_1 b_2}{m_1 m_2}\right) x_1 + \left[\frac{b_1}{m_1}\left(\frac{b_1}{m_1} + \frac{b_1}{m_2} + \frac{b_2}{m_2}\right) - \frac{k_1}{m_1}\right] z_1$$
$$- \frac{b_1}{m_1} z_2 + \frac{u}{m_1} + \left(\frac{b_1 b_2}{m_1 m_2}\right) w.$$

Cu acestea, considerând variabilele de stare: x_1, $\dot{x}_1$, z_1 şi z_2 modelul matematic al sistemului de suspensie al unui vehicul, în reprezentarea prin variabile de stare este următorul:

$$\begin{bmatrix} \dot{x}_1 \\ \ddot{x}_1 \\ \dot{z}_1 \\ \dot{z}_2 \end{bmatrix} = \begin{bmatrix} 0 & 1 & 0 & 0 \\ -\left(\frac{b_1 b_2}{m_1 m_2}\right) & 0 & \left(\frac{b_1}{m_1}\left(\frac{b_1}{m_1} + \frac{b_1}{m_2} + \frac{b_2}{m_2}\right) - \frac{k_1}{m_1}\right) & -\frac{b_1}{m_1} \\ \frac{b_2}{m_2} & 0 & -\left(\frac{b_1}{m_1} + \frac{b_1}{m_2} + \frac{b_2}{m_2}\right) & 1 \\ \frac{k_2}{m_2} & 0 & -\left(\frac{k_1}{m_1} + \frac{k_1}{m_2} + \frac{k_2}{m_2}\right) & 0 \end{bmatrix} \begin{bmatrix} x_1 \\ \dot{x}_1 \\ z_1 \\ z_2 \end{bmatrix}$$

$$+ \begin{bmatrix} 0 & 0 \\ \frac{1}{m_1} & \frac{b_1 b_2}{m_1 m_2} \\ 0 & -\frac{b_2}{m_2} \\ \left(\frac{1}{m_1} + \frac{1}{m_2}\right) & -\frac{k_2}{m_2} \end{bmatrix} \begin{bmatrix} u \\ w \end{bmatrix},$$

$$y = \begin{bmatrix} 0 & 0 & 1 & 0 \end{bmatrix} \begin{bmatrix} x_1 \\ \dot{x}_1 \\ z_1 \\ z_2 \end{bmatrix}.$$

3.10. Paraşuta.

Un paraşutist de masă m se lansează de la altitudinea x_0 în cădere liberă sub influența gravitației. Presupunem că forța de rezistență a aerului este proporțională cu viteza paraşutistului, unde constanta de proporționalitate este diferită în funcție de starea paraşutei (închisă sau deschisă).

Modelul matematic al paraşutei se obține din a doua lege a lui Newton sub forma:

$$m\ddot{x} = -mg - k\dot{x},$$
$$x(0) = x_0, \quad \dot{x}(0) = 0,$$

unde x este altitudinea la care se află paraşutistul deasupra Pământului, g este accelerația gravitațională, iar k coeficientul de rezistență al aerului. Ecuația de mişcare de mai sus se poate imediat scrie sub forma unui sistem diferențial în care apar poziția şi viteza paraşutistului:

$$\dot{v} = -g - \frac{k}{m}v, \quad v(0) = 0,$$
$$\dot{x} = v, \quad x(0) = x_0.$$

Considerând m, g şi k constante, atunci soluția explicită a sistemului de mai sus este:

$$v(t) = \frac{mg}{k}\left(e^{-\frac{k}{m}t} - 1\right),$$
$$x(t) = x_0 + \frac{m^2 g}{k^2}\left(-\frac{k}{m}t + \left(1 - e^{-\frac{k}{m}t}\right)\right).$$

Totuşi, în problema paraşutei k nu este o constantă. Forma generală a evoluției coeficientului de rezistență a aerului este:

$$k(t) = \begin{cases} k_1, & t < t_d, \\ k_2, & t \geq t_d, \end{cases}$$

unde t_d este timpul când paraşuta se deschide. Este posibil ca t_d să fie o funcție de viteză în sensul că deschiderea paraşutei apare la o anumită viteză a paraşutistului, sau o funcție de poziție în care caz deschiderea apare la o anumită altitudine a paraşutistului. Pentru a determina modelul matematic al vitezei paraşutistului este necesar să găsim soluția pentru $k = k_1$, apoi să calculăm t_d ,

după care să rezolvăm problema cu $k = k_2$ unde condițiile inițiale sunt selectate astfel încât să se realizeze continuitatea vitezei şi poziției paraşutistului la momentul deschiderii paraşutei: $v(t_d^+) = v(t_d^-)$ şi $x(t_d^+) = x(t_d^-)$, unde $t_d^{\pm}$ este limita la dreapta, respectiv la stânga a lui t_d. În acest caz, pentru $0 \le t < t_d$ viteza paraşutistului este:

$$v(t) = \frac{mg}{k_1}\left(e^{-\frac{k_1}{m}t} - 1\right),$$

iar, pentru $t \ge t_d$:

$$v(t) = \frac{mg}{k_1}\left(e^{-\frac{k_1}{m}t_d} - 1\right)e^{-\frac{k_2}{m}(t-t_d)} + \frac{mg}{k_2}\left(e^{-\frac{k_2}{m}(t-t_d)} - 1\right).$$

Viteza la aterizare se poate calcula imediat din condiția $\mathrm{d}v / \mathrm{d}t = 0$. Utilizând ecuația de mişcare rezultă că: $v(t_f) = -mg / k$.

Din ecuațiile de mişcare vedem că accelerația paraşutistului este: $a = -g - (k / m)v$. La momentul deschiderii paraşutei apare un salt de accelerație, aşa numitul *şoc de deschidere*, calculat sub forma:

$$j(t) = \frac{\mathrm{d}a}{\mathrm{d}t} = -\frac{\dot{k}(t)}{m}v(t) - \frac{k(t)}{m}a(t).$$

Cum k este constantă pe porțiuni, rezultă că accelerația la momentul deschiderii totale a paraşutei are un salt de discontinuitate $j(t_d) = j(t_d^+) - j(t_d^-)$. Dar $a(t_d^-) = 0$, deci

$$j(t_d) = -\frac{k(t_d^+)a(t_d^+)}{m}.$$

Un model mult mai realist se obține dacă se ia în considerație şi timpul necesar deschiderii paraşutei [Meade, 1998], precum şi aria secțiunii transversale şi forma paraşutei [Meade şi Struthers, 1999].

3.11. Bicicleta

În cele ce urmează prezentăm modelul matematic al bicicletei [Avila-Vilchis, Martinez-Molina, Canudas-de-Wit, 2003]. Aceasta este reprezentată în figurile 11-14, unde vectorul coordonatelor generalizate este

$$q = \left[x, y, \Psi, \Phi, \theta_f, \theta_r\right]^T,$$

in care x şi y definesc poziția vehiculului în raport cu un reper inerțial. Celelalte coordonate generalizate sunt definite în figuri. Vectorul de intrare este

$$u = \left[\alpha, \tau_m, \tau_b\right]^T,$$

unde α este unghiul de viraj, τ_m şi τ_b sunt momentul motorului şi respectiv momentul de frânare.

În figura 11 sistemul de referință definit de axele (x, y, z) este inerțial, G_u este centrul de greutate al şasiului (cadrului bicicletei); v, v_f şi v_r sunt

vitezele vehiculului, a roții din față şi respectiv a roții din spate în raport cu reperul inerțial considerat; β este unghiul de alunecare al bicicletei, iar β_f şi β_r sunt unghiurile de alunecare ale roților din față şi respectiv a celei din spate; Ψ este unghiul de viraj al bicicletei în jurul axei verticale; l_f şi l_r sunt distanțele de la centrul de greutate la axul roții din față, respectiv a celei din spate. Se observă că sistemul de referință asociat cu roata din față este definit de vectorii (e_{1f}, e_{2f}, e_{3f}).

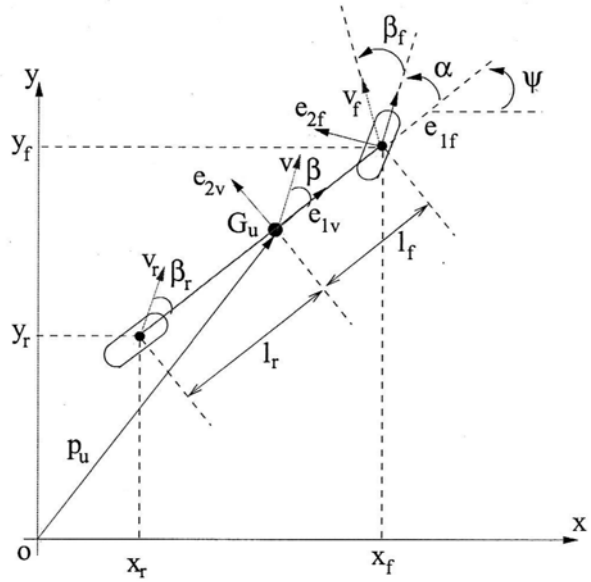

Fig. 11. Bicicleta (caracteristici, viteze, unghiuri)

Figura 12 prezintă o vedere laterală a bicicletei, unde F_{ni} şi F_{xi}, $(i = f, r)$ reprezintă sarcina normală aplicată pe axele roților şi respectiv forțele de contact longitudinale pentru cele două roți. G_s este centrul de greutate al masei suspendate (biciclistului). În acest caz masa suspendată se modelează ca un pendul invers a cărui dinamică este definită de unghiul Φ şi deplasarea x. Sistemul de referință (e_{1v}, e_{2v}, e_{3v}) este asociat cu masa suspendată aflată la înălțimea $r + h$, iar $\dot{\theta}_f$ şi $\dot{\theta}_r$ sunt vitezele unghiulare ale roții din față, respectiv a celei din spate. Raza roților este r.

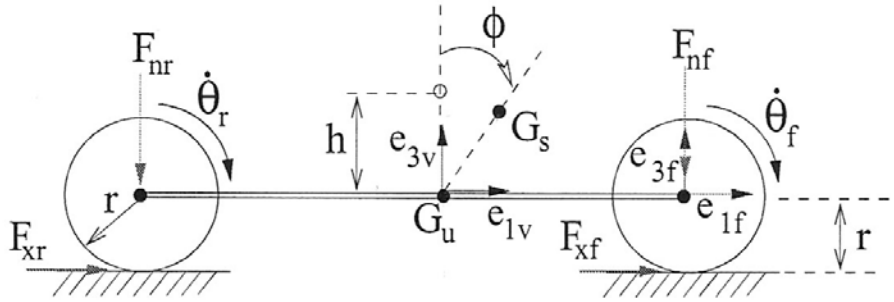

Fig. 12. Bicicleta (forțe, viteze unghiulare)

În figura 13, M_z este momentul de aliniere, iar F_{yi}, $(i = f, r)$ sunt forțele laterale de contact pentru roata din față, respectiv cea din spate.

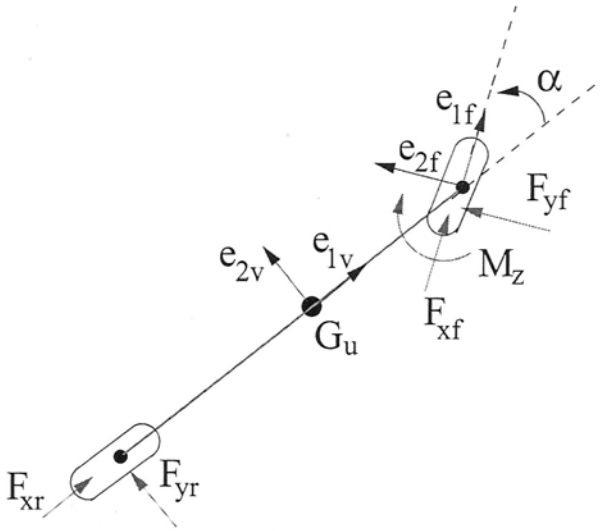

Fig. 13. Bicicleta (forțe laterale de contact)

Figura 14 prezintă suspensia bicicletei ca un sistem de arcuri cu amortizoare, în care k este coeficientul arcului, c este coeficientul de amortizare, iar ε_f şi ε_r sunt deformările verticale asociate roților. Masa vehiculului este formată din masa şasiului m_u, masa corpului suspendat m_s şi masa celor două roți m_t. Deci masa totală a vehiculului este $m = m_u + m_s + 2m_t$.

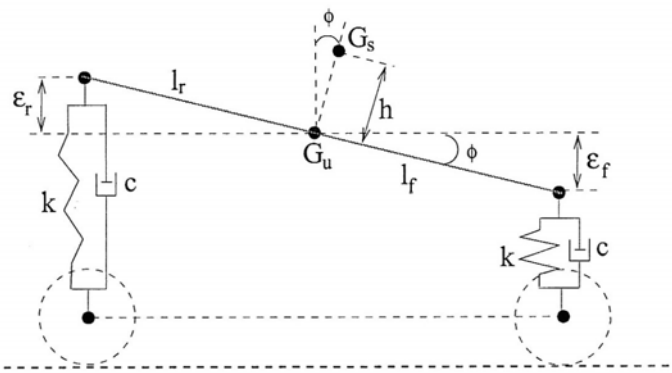

Fig. 14. Bicicleta (suspensia)

Modelul matematic al bicicletei este definit în formalismul Lagrangean, în care pentru fiecare componentă a vehiculului (şasiu, masa suspendată şi roţi) se scriu energiile cinetice de translaţie T_t şi respectiv de rotaţie T_r, precum şi energia potenţială U. În continuare să analizăm fiecare dintre aceste componente.

1) Şasiul

Vectorul de poziţie al şasiului p_u, în raport cu un reper inerţial, este dat de poziţia centrului de greutate G_u al şasiului, ca în figura 1:

$$p_u = \left[x, y, r\right]^T. \tag{3.11.1}$$

Viteza şasiului în reperul inerţial dat este

$$v_u = \left[\dot{x}, \dot{y}, 0\right]^T. \tag{3.11.2}$$

Viteza unghiulară a şasiului este

$$\omega_u = \left[0, 0, \dot{\Psi}\right]^T. \tag{3.11.3}$$

Cu acestea, energia cinetică de translaţie şi de rotaţie, precum şi energia potenţială sunt:

$$T_{ut} = \frac{1}{2} m_u \left(\dot{x}^2 + \dot{y}^2\right), \tag{3.11.4}$$

$$T_{ur} = \frac{1}{2} I_{uz} \dot{\Psi}^2, \tag{3.11.5}$$

$$U_u = m_u g r. \tag{3.11.6}$$

2) Masa suspendată

Pentru masa suspendată, vectorul de poziţie p_s, în raport cu un reper inerţial, este dat de poziţia centrului de greutate G_s al acesteia, figura 2:

$$p_s = \begin{bmatrix} x + h \sin\Phi \cos\Psi \\ y + h \sin\Phi \sin\Psi \\ r + h \cos\Phi \end{bmatrix}. \tag{3.11.7}$$

Deci viteza masei suspendate, în raport cu reperul considerat, este:

$$v_s = \begin{bmatrix} \dot{x} - h\dot{\Psi}\sin\Phi\sin\Psi + h\dot{\Phi}\cos\Psi\cos\Phi \\ \dot{y} + h\dot{\Psi}\sin\Phi\cos\Psi + h\dot{\Phi}\cos\Phi\sin\Psi \\ -h\dot{\Phi}\sin\Phi \end{bmatrix}. \tag{3.11.8}$$

Mişcarea unghiulară a masei suspendate este modelată ca aceea a unui pendul invers. Aceasta permite surprinderea într-o manieră mult mai realistă a distribuţiei sarcinilor care acţionează asupra bicicletei la frânare sau la accelerare. Deci viteza unghiulară a masei suspendate este:

$$\omega_s = \left[0, \dot{\Phi}, \dot{\Psi}\right]^T, \tag{3.11.9}$$

unde efectul giroscopic asupra acesteia a fost neglijat.
Tensorul de inerţie al masei suspendate este considerat de forma:

$$I_s = \begin{bmatrix} I_x & -I_{xy} & -I_{xz} \\ -I_{yx} & I_y & -I_{yz} \\ -I_{zx} & -I_{zy} & I_z \end{bmatrix}. \tag{3.11.10}$$

Cu acestea putem scrie imediat energia cinetică de translaţie şi de rotaţie, precum şi energia potenţială a masei suspendate:

$$\begin{aligned} T_{st} = \frac{1}{2} m_s \{ & \dot{x}^2 + \dot{y}^2 + h^2\left(\dot{\Psi}^2 \sin^2\Phi + \dot{\Phi}^2\cos^2\Phi\right) + \\ & 2h\dot{\Psi}\sin\Phi\left(\dot{y}\cos\Psi - \dot{x}\sin\Psi\right) + \\ & 2h\dot{\Phi}\cos\Phi\left(\dot{y}\sin\Psi + \dot{x}\cos\Psi\right)\}. \end{aligned} \tag{3.11.11}$$

$$\begin{aligned} T_{sr} = & \frac{1}{2}\omega_s^T I_s \omega_s + \frac{1}{2} h^2 m_s \dot{\Phi}^2 = \\ & \frac{1}{2}\left\{\left(I_{sy} + m_s h^2\right)\dot{\Phi}^2 + I_{sz}\dot{\Psi}^2 - 2I_{syz}\dot{\Phi}\dot{\Psi}\right\}. \end{aligned} \tag{3.11.12}$$

$$U_s = m_s g(r + h\cos\Phi) + \frac{1}{2} k\left(l_f^2 + l_r^2\right)\sin^2\Phi. \tag{3.11.13}$$

3) Roata din faţă

Vectorii de poziţie şi de viteză corespunzători roţii din faţă a bicicletei sunt:

$$p_f = \left[x + l_f\cos\Psi, y + l_f\sin\Psi, r\right]^T, \tag{3.11.14}$$

$$v_f = \left[\dot{x} - l_f\dot{\Psi}\sin\Psi, \dot{y} + l_f\dot{\Psi}\cos\Psi, 0\right]^T. \tag{3.11.15}$$

Vectorul vitezei unghiulare pentru această roată este:

$$\omega_f = \left[0, \dot{\theta}_f, \dot{\Psi}\right]^T, \tag{3.11.16}$$

unde θ_f reprezintă poziţia unghiulară a acestei roţi în planul ei, figura 2. Tensorul de inerţie al roţii este:

$$I_t = diag\left(I_x, I_y, I_z\right).$$

Cu acestea, energia cinetică de translație şi de rotație, ca şi cea potențială se scriu sub forma:

$$T_{ft} = \frac{1}{2} m_t \left\{ \dot{x}^2 + \dot{y}^2 - 2 l_f \dot{x} \dot{\Psi} \sin \Psi + 2 l_f \dot{y} \dot{\Psi} \cos \Psi + l_f^2 \dot{\Psi}^2 \right\}, \quad (3.11.17)$$

$$T_{fr} = \frac{1}{2} \omega_f^T I_t \omega_f + \frac{1}{2} m_t l_f^2 \left(\dot{\theta}_f^2 + \dot{\Psi}^2 \right) =$$

$$\frac{1}{2} \left\{ \left(I_{ty} + m_t l_f^2 \right) \dot{\theta}_f^2 + \left(I_{tz} + m_t l_f^2 \right) \dot{\Psi}^2 \right\}, \quad (3.11.18)$$

$$U_f = m_t g r. \quad (3.11.19)$$

4) Roata din spate

Similar, pentru roata din spate vectorii de poziție şi de viteză sunt:

$$p_r = \left[x - l_r \cos \Psi, y - l_r \sin \Psi, r \right]^T, \quad (3.11.20)$$

$$v_r = \left[\dot{x} + l_r \dot{\Psi} \sin \Psi, \dot{y} - l_r \dot{\Psi} \cos \Psi, 0 \right]^T. \quad (3.11.21)$$

Vectorul vitezei unghiulare pentru această roată este:

$$\omega_r = \left[0, \dot{\theta}_r, \dot{\Psi} \right]^T, \quad (3.11.22)$$

unde ca mai sus, θ_r reprezintă poziția unghiulară a acestei roți în planul ei. Pentru această roată energia cinetică de translație şi de rotație, ca şi cea potențială sunt date de:

$$T_{rt} = \frac{1}{2} m_t \left\{ \dot{x}^2 + \dot{y}^2 + 2 l_r \dot{x} \dot{\Psi} \sin \Psi - 2 l_r \dot{y} \dot{\Psi} \cos \Psi + l_r^2 \dot{\Psi}^2 \right\}, \quad (3.11.23)$$

$$T_{rr} = \frac{1}{2} \left\{ \left(I_{ty} + m_t l_r^2 \right) \dot{\theta}_r^2 + \left(I_{tz} + m_t l_r^2 \right) \dot{\Psi}^2 \right\}, \quad (3.11.24)$$

$$U_r = m_t g r. \quad (3.11.25)$$

Cu aceste preparative putem formula Lagrangeanul sistemului sub forma:

$$L = T - U.$$

După simplificările algebrice corespunzătoare obținem:

$$L = \frac{1}{2} m \left(\dot{x}^2 + \dot{y}^2 \right) + \frac{1}{2} \left(I_{sy} + m_s h^2 \right) \dot{\Phi}^2 +$$

$$\frac{1}{2} \left\{ I_{uz} + I_{sz} + 2 I_{tz} + 2 m_t \left(l_f^2 + l_r^2 \right) \right\} \dot{\Psi}^2 +$$

$$\frac{1}{2} \left(I_{ty} + m_t l_f^2 \right) \dot{\theta}_f^2 + \frac{1}{2} \left(I_{ty} + m_t l_r^2 \right) \dot{\theta}_r^2 +$$

$$m_t (l_r - l_f) \dot{x} \dot{\Psi} \sin \Psi - m_t (l_r - l_f) \dot{y} \dot{\Psi} \cos \Psi -$$

$$I_{syz} \dot{\Phi} \dot{\Psi} - m_s g h \cos \Phi - m g r - \frac{1}{2} k \left(l_f^2 + l_r^2 \right) \sin^2 \Phi +$$

$$\frac{1}{2}m_s\left\{h^2\left(\dot{\Psi}^2\sin^2\Phi+\dot{\Phi}^2\cos^2\Phi\right)+\right.$$
$$2h\dot{\Psi}\sin\Phi\left(\dot{y}\cos\Psi-\dot{x}\sin\Psi\right)+$$
$$\left.2h\dot{\Phi}\cos\Phi\left(\dot{y}\sin\Psi+\dot{x}\cos\Psi\right)\right\}. \tag{3.11.26}$$

Ecuațiile de mişcare ale bicicletei sunt obținute din ecuațiile Lagrange:

$$\frac{d}{dt}\left[\frac{\partial L}{\partial \dot{q}_i}\right]-\frac{\partial L}{\partial q_i}=Q_i, \tag{3.11.27}$$

unde $i=1,\ldots,6$ şi Q_i este a $i-$a forță generalizată.
Avem:

$$\frac{\partial L}{\partial x}=\frac{\partial L}{\partial y}=\frac{\partial L}{\partial \theta_f}=\frac{\partial L}{\partial \theta_r}=0.$$

$$\frac{\partial L}{\partial \Psi}=m_t\left(l_r-l_f\right)\left(\dot{x}\dot{\Psi}\cos\Psi+\dot{y}\dot{\Psi}\sin\Psi\right)+$$
$$m_s h\dot{\Psi}\sin\Phi\left(-\dot{y}\sin\Psi-\dot{x}\cos\Psi\right)+$$
$$m_s h\dot{\Phi}\cos\Phi\left(\dot{y}\cos\Psi-\dot{x}\sin\Psi\right).$$

$$\frac{\partial L}{\partial \Phi}=m_s gh\sin\Phi-k\left(l_f^2+l_r^2\right)\sin\Phi\cos\Phi+$$
$$m_s h^2\left(\dot{\Psi}^2-\dot{\Phi}^2\right)\sin\Phi\cos\Phi+$$
$$m_s h\dot{\Psi}\cos\Phi\left(\dot{y}\cos\Psi-\dot{x}\sin\Psi\right)-$$
$$m_s h\dot{\Phi}\sin\Phi\left(\dot{y}\sin\Psi+\dot{x}\cos\Psi\right).$$

$$\frac{\partial L}{\partial \dot{x}}=m\dot{x}+m_t\left(l_r-l_f\right)\dot{\Psi}\sin\Psi+$$
$$m_s h\left\{-\dot{\Psi}\sin\Phi\sin\Psi+\dot{\Phi}\cos\Phi\cos\Psi\right\}.$$

$$\frac{\partial L}{\partial \dot{y}}=m\dot{y}-m_t\left(l_r-l_f\right)\dot{\Psi}\cos\Psi+$$
$$m_s h\left\{\dot{\Psi}\sin\Phi\cos\Psi+\dot{\Phi}\cos\Phi\sin\Psi\right\}.$$

$$\frac{\partial L}{\partial \dot{\Psi}}=\left\{I_{uz}+I_{sz}+2I_{tz}+2m_t\left(l_f^2+l_r^2\right)\right\}\dot{\Psi}+$$
$$m_t\left(l_r-l_f\right)\left(\dot{x}\sin\Psi-\dot{y}\cos\Psi\right)-I_{syz}\dot{\Phi}+$$
$$m_s h\sin\Phi\left\{h\dot{\Psi}\sin\Phi+\dot{y}\cos\Psi-\dot{x}\sin\Psi\right\}.$$

$$\frac{\partial L}{\partial \dot{\Phi}}=\left(I_{sy}+m_s h^2\right)\dot{\Phi}-I_{syz}\dot{\Psi}+m_s h^2\dot{\Phi}\cos^2\Phi+$$
$$m_s h\cos\Phi\left(\dot{y}\sin\Psi+\dot{x}\cos\Psi\right).$$

$$\frac{\partial L}{\partial \dot{\theta}_f} = \left(I_{ty} + m_t l_f^2\right)\dot{\theta}_f .$$

$$\frac{\partial L}{\partial \dot{\theta}_r} = \left(I_{ty} + m_t l_r^2\right)\dot{\theta}_r .$$

$$\begin{aligned}\frac{d}{dt}\left[\frac{\partial L}{\partial \dot{x}}\right] = {} & m\ddot{x} + m_t\left(l_r - l_f\right)\left(\ddot{\Psi}\sin\Psi + \dot{\Psi}^2\cos\Psi\right) - \\ & m_s h\left\{\ddot{\Psi}\sin\Phi\sin\Psi + \dot{\Psi}\dot{\Phi}\cos\Phi\sin\Psi + \dot{\Psi}^2\sin\Phi\cos\Psi\right\} + \\ & m_s h\left\{\ddot{\Phi}\cos\Phi\cos\Psi - \dot{\Psi}\dot{\Phi}\cos\Phi\sin\Psi - \dot{\Phi}^2\sin\Phi\cos\Psi\right\}.\end{aligned}$$

$$\begin{aligned}\frac{d}{dt}\left[\frac{\partial L}{\partial \dot{y}}\right] = {} & m\ddot{y} - m_t\left(l_r - l_f\right)\left(\ddot{\Psi}\cos\Psi - \dot{\Psi}^2\sin\Psi\right) + \\ & m_s h\left\{\ddot{\Psi}\sin\Phi\cos\Psi + \dot{\Psi}\dot{\Phi}\cos\Phi\cos\Psi - \dot{\Psi}^2\sin\Phi\sin\Psi\right\} + \\ & m_s h\left\{\ddot{\Phi}\cos\Phi\sin\Psi + \dot{\Phi}\dot{\Psi}\cos\Phi\cos\Psi - \dot{\Phi}^2\sin\Phi\sin\Psi\right\}.\end{aligned}$$

$$\begin{aligned}\frac{d}{dt}\left[\frac{\partial L}{\partial \dot{\Psi}}\right] = {} & \left\{I_{uz} + I_{sz} + 2I_{tz} + 2m_t\left(l_f^2 + l_r^2\right)\right\}\ddot{\Psi} + \\ & m_t\left(l_r - l_f\right)\left(\ddot{x}\sin\Psi + \dot{x}\dot{\Psi}\cos\Psi - \ddot{y}\cos\Psi + \dot{y}\dot{\Psi}\sin\Psi\right) - \\ & I_{syz}\ddot{\Phi} + m_s h^2\left(\ddot{\Psi}\sin\Phi + 2\dot{\Phi}\dot{\Psi}\cos\Phi\right)\sin\Phi + \\ & m_s h\left\{\ddot{y}\sin\Phi\cos\Psi - \dot{y}\dot{\Psi}\sin\Phi\sin\Psi + \dot{y}\dot{\Phi}\cos\Phi\cos\Psi\right\} - \\ & m_s h\left\{\ddot{x}\sin\Phi\sin\Psi - \dot{x}\dot{\Psi}\sin\Phi\cos\Psi + \dot{x}\dot{\Phi}\cos\Phi\sin\Psi\right\}.\end{aligned}$$

$$\begin{aligned}\frac{d}{dt}\left[\frac{\partial L}{\partial \dot{\Phi}}\right] = {} & \left(I_{sy} + m_s h^2\right)\ddot{\Phi} - I_{syz}\ddot{\Psi} + \\ & m_s h^2\left(\ddot{\Phi}\cos^2\Phi - 2\dot{\Phi}^2\cos\Phi\sin\Phi\right) + \\ & m_s h\left\{\left(\ddot{y}\sin\Psi + \dot{y}\dot{\Psi}\cos\Psi\right)\cos\Phi - \dot{y}\dot{\Phi}\sin\Phi\sin\Psi\right\} + \\ & m_s h\left\{\left(\ddot{x}\cos\Psi - \dot{x}\dot{\Psi}\sin\Psi\right)\cos\Phi - \dot{x}\dot{\Phi}\sin\Phi\cos\Psi\right\}.\end{aligned}$$

$$\frac{d}{dt}\left[\frac{\partial L}{\partial \dot{\theta}_f}\right] = \left(I_{ty} + m_t l_f^2\right)\ddot{\theta}_f .$$

$$\frac{d}{dt}\left[\frac{\partial L}{\partial \dot{\theta}_r}\right] = \left(I_{ty} + m_t l_r^2\right)\ddot{\theta}_r .$$

Cu acestea obținem următorul model matematic al bicicletei în formalismul Langrangean:

$$m\ddot{x} + \left(c_1\sin\Psi - c_2\sin\Phi\sin\Psi\right)\ddot{\Psi} + \left(c_2\cos\Phi\cos\Psi\right)\ddot{\Phi} +$$

$$\left(c_1\dot{\Psi}\cos\Psi - c_2\dot{\Phi}\cos\Phi\sin\Psi - c_2\dot{\Psi}\sin\Phi\cos\Psi\right)\dot{\Psi} - \left(c_2\dot{\Psi}\cos\Phi\sin\Psi + c_2\dot{\Phi}\sin\Phi\cos\Psi\right)\dot{\Phi} = Q_1(u), \tag{3.11.28}$$

$$m\ddot{y} - \left(c_1\cos\Psi - c_2\sin\Phi\cos\Psi\right)\ddot{\Psi} + \left(c_2\cos\Phi\sin\Psi\right)\ddot{\Phi} + \left(c_1\dot{\Psi}\sin\Psi + c_2\dot{\Phi}\cos\Phi\cos\Psi - c_2\dot{\Psi}\sin\Phi\sin\Psi\right)\dot{\Psi} + \left(c_2\dot{\Psi}\cos\Phi\cos\Psi - c_2\dot{\Phi}\sin\Phi\sin\Psi\right)\dot{\Phi} = Q_2(u), \tag{3.11.29}$$

$$\left(c_1\sin\Psi - c_2\sin\Phi\sin\Psi\right)\ddot{x} - \left(c_1\cos\Psi - c_2\sin\Phi\cos\Psi\right)\ddot{y} + \left(c_3 + c_2 h\sin^2\Phi\right)\ddot{\Psi} - I_{syz}\ddot{\Phi} + \left(2c_2\dot{\Psi}\sin\Phi\cos\Psi\right)\dot{x} + \left(2c_2 h\dot{\Phi}\sin\Phi\cos\Phi\right)\dot{\Psi} = Q_3(u), \tag{3.11.30}$$

$$\left(c_2\cos\Phi\cos\Psi\right)\ddot{x} + \left(c_2\sin\Psi\cos\Phi\right)\ddot{y} - I_{syz}\ddot{\Psi} + \left(c_4 + c_2 h\cos^2\Phi\right)\ddot{\Phi} - \left(c_2 h\dot{\Psi}\sin\Phi\cos\Phi\right)\dot{\Psi} - \left(c_2 h\dot{\Phi}\sin\Phi\cos\Phi\right)\dot{\Phi} - \left(c_7\sin\Phi - c_8\sin\Phi\cos\Phi\right) = Q_4(u), \tag{3.11.31}$$

$$c_5\ddot{\theta}_f = Q_5(u), \tag{3.11.32}$$

$$c_6\ddot{\theta}_r = Q_6(u), \tag{3.11.33}$$

unde

$$c_1 = m_t\left(l_r - l_f\right), \qquad c_2 = m_s h,$$
$$c_3 = I_{uz} + I_{sz} + 2I_{tz} + 2m_t\left(l_f^2 + l_r^2\right),$$
$$c_4 = I_{sy} + m_s h^2, \qquad c_5 = I_{ty} + m_t l_f^2,$$
$$c_6 = I_{ty} + m_t l_r^2, \qquad c_7 = m_s gh,$$
$$c_8 = k\left(l_f^2 + l_r^2\right).$$

Vectorul forțelor generalizate $Q(u)$ este format din toate forțele externe care acționează asupra sistemului:

$$Q(u) = \begin{bmatrix} R_{z\Psi} & 0 \\ 0 & I_4 \end{bmatrix} \begin{bmatrix} F_{xr} + F_{xf}\cos\alpha - F_{yf}\sin\alpha - C_x\|v_{xv}\|v_{xv} \\ F_{yr} + F_{xf}\sin\alpha + F_{yf}\cos\alpha + C_y\sin(\eta_y t) \\ F_{xf}l_f\sin\alpha + F_{yf}l_f\cos\alpha - F_{yr}l_r \\ L_{nf}l_f - L_{nr}l_r - f_{nf}l_f + f_{nr}l_r \\ \tau_m - F_{xf}r \\ \tau_b - F_{xr}r \end{bmatrix}, \tag{3.11.34}$$

unde

$$C_x = \frac{1}{2}\rho C_d A$$

este un coeficient în care ρ este densitatea aerului, C_d este coeficientul de rezistență al aerului şi A aria transversală a vehiculului, v_{xv} este viteza vehiculului, C_y este amplitudinea forței perturbatoare laterale, η_y frecvența acestei forțe şi $R_{z\Psi}$ este o matrice de rotație:

$$R_{z\Psi} = \begin{bmatrix} \cos\Psi & -\sin\Psi \\ \sin\Psi & \cos\Psi \end{bmatrix}, \tag{3.11.35}$$

care realizează trecerea din reperul vehiculului la reperul inerțial.

În acelaşi timp, F_{xi}, F_{yi}, pentru $i = f, r$, sunt forțele longitudinale şi laterale de contact asociate roții din față şi a celei din spate, L_{ni} şi f_{ni}, $i = f, r$, sunt sarcinile statice (verticale) şi respectiv forțele de recul a sistemului de suspensie pentru roata din față şi cea din spate, figura 4.

Sarcinile verticale au următoarea expresie

$$L_{nf} = \frac{l_r}{l_r + l_f}\left(m_u + m_s\right)g, \tag{3.11.36a}$$

$$L_{nr} = \frac{l_f}{l_r + l_f}\left(m_u + m_s\right)g, \tag{3.11.36b}$$

care realizează un raport static al maselor față de axul roții din față şi al celui din spate. Din figura 4, presupunând că Φ este mic, putem scrie:

$$f_{nf} = kl_f\Phi + cl_f\dot{\Phi}, \tag{3.11.37a}$$

$$f_{nr} = -kl_r\Phi - cl_r\dot{\Phi}. \tag{3.11.37b}$$

Ecuațiile Lagrange ale bicicletei se pot compactiza sub forma

$$M(q)\ddot{q} + C(q,\dot{q})\dot{q} + G(q) = Q(u), \tag{3.11.38}$$

unde

$$M(q) = \begin{bmatrix} m & 0 & \gamma_1\sin\Psi & \gamma_2\cos\Psi & 0 & 0 \\ 0 & m & -\gamma_1\cos\Psi & \gamma_2\sin\Psi & 0 & 0 \\ \gamma_1\sin\Psi & -\gamma_1\cos\Psi & \gamma_3 & -I_{syz} & 0 & 0 \\ \gamma_2\cos\Psi & \gamma_2\sin\Psi & -I_{syz} & \gamma_4 & 0 & 0 \\ 0 & 0 & 0 & 0 & c_5 & 0 \\ 0 & 0 & 0 & 0 & 0 & c_6 \end{bmatrix},$$

este o matrice simetrică, pozitiv definită, cunoscută ca *matricea de inerție*, iar

$$\gamma_1 = c_1 - c_2\sin\Phi, \qquad \gamma_2 = c_2\cos\Phi,$$
$$\gamma_3 = c_3 + c_2 h\sin^2\Phi, \qquad \gamma_4 = c_4 + c_2 h\cos^2\Phi,$$

$$C(q,\dot{q}) = \begin{bmatrix} 0 & 0 & \varepsilon_1 & c_2\dot{\Psi}\rho_1 + c_2\dot{\Phi}\rho_2 & 0 & 0 \\ 0 & 0 & \varepsilon_2 & c_2\dot{\Psi}\rho_3 - c_2\dot{\Phi}\rho_4 & 0 & 0 \\ 2c_2\dot{\Psi}\rho_2 & 0 & \varepsilon_3 & 0 & 0 & 0 \\ 0 & 0 & \varepsilon_4 & c_2 h\dot{\Phi}\rho_5 & 0 & 0 \\ 0 & 0 & 0 & 0 & 0 & 0 \\ 0 & 0 & 0 & 0 & 0 & 0 \end{bmatrix},$$

este *matricea Coriolis*, iar

$$\rho_1 = \cos\Phi\sin\Psi, \quad \rho_2 = \sin\Phi\cos\Psi, \quad \rho_3 = \cos\Phi\cos\Psi,$$
$$\rho_4 = \sin\Phi\sin\Psi, \quad \rho_5 = \sin\Phi\cos\Phi,$$
$$\varepsilon_1 = c_1\dot{\Psi}\cos\Psi - c_2\dot{\Phi}\rho_5 - c_2\dot{\Psi}\rho_2, \quad \varepsilon_2 = c_1\dot{\Psi}\sin\Psi + c_2\dot{\Phi}\rho_3 - c_2\dot{\Psi}\rho_2,$$
$$\varepsilon_3 = 2c_2 h\dot{\Phi}\rho_5, \qquad \varepsilon_4 = c_2 h\dot{\Psi}\rho_5,$$

şi

$$G(q) = \begin{bmatrix} 0 \\ 0 \\ 0 \\ \gamma_5 \\ 0 \\ 0 \end{bmatrix},$$

este vectorul *forțelor conservative*, şi

$$\gamma_5 = (-c_7 + c_8\cos\Phi)\sin\Phi.$$

Bibliografie

Avila-Vilchis, J-C., Martinez-Molina, J-J., Canudas-De-Wit, C., (2003) *A new bicycle model with 3-D dynamic tire/road friction forces*. Internal Report No. AP02206, ARCOS Project, Aprilie 2003, Laboratoire d'Automatique de Grenoble, France.

Gäfvert, M., (1998) *Modeling the Furuta pendulum*. Department of Automatic control, Lund Institute of Technology, ISRN LUTFD2/TFRT–7574–SE, April 1998.

Meade, D.B., (1998) *ODE models for the parachute problem*. SIAM Review, 40, June 1998, pp. 327–332.

Meade, D.B., Struthers, A.A., (1999) *Differential equations in the new millenium: the parachute problem.* Int. J. Engng. vol.15, 1999.

Plăcinţeanu, I., (1958) *Mecanica vectorială şi analitică. Mecanica corpului cu masă variabilă.* Ediția a II-a. Editura Tehnică, Bucureşti, 1958.

Vâlcovici, V., Bălan, Şt., Voinea, R., (1968) *Mecanica teoretică.* Ediția a II-a, Editura Tehnică, Bucureşti, 1968.

O nouă versiune
25 Aprilie, 2003 – 27 Aprilie 2009